# ESTUDOS DE UNIDADES DE CALOR EM SOJA (Glycine max (L) Merrill)

#### JOSÉ GOMES

Orientador: JESUS MARDEN DOS SANTOS

Dissertação apresentada à Escola Superior de Agricultura "Luiz de Queiroz", da Universidade de São Paulo, para obtenção do título de Mestre em Agrometeorologia

PIRACICABA

Estado de São Paulo - Brasil
outubro de 1977

# Ofereço :

Angelica Pereira Gomes

Isaias José Gomes

minha familia

Margarida Maria Pereira Benincasa

Mario Benincasa

meus mestres

Homenagem especial ao amigo sempre presente:

Dr. Jesus Marden dos Santos

#### AGRADECIMENTOS

Quero expressar meus sinceros agradecimentos:

- 1. Ao Dr. JESUS MARDEN DOS SANTOS pela sua dedicação junto à coordenação do Curso de Agrometeorologia e na constante orientação do Autor;
- 2. Ao Departamento de Física e Meteorologia da ESALQ-USP que através de seus professores Dr. AFONSO DECICO, Dr. JOSÉ CARLOS OMETTO, Dr. KLAUS REICHARDT e Dr. NILSON AUGUSTO VILLA NOVA soube criar o melhor clima de amizade contribuindo de for ma efetiva para a formação de profissionais eficientes ao desenvolvimento agrícola do país;
- 3. À Escola Superior de Agricultura "Luiz de Queiroz" por transformar em realidade o curso de Pos-Graduação em Agrometeorologia;
- 4. À Fundação Instituto Agronômico do Paraná IAPAR pelas condições de trabalho e estudo oferecidas ao Autor durante o desenvolvimento desta pesquisa e o curso de Pós-Graduação;
- 5. À Empresa Brasileira de Pesquisa Agropecuária EMBRAPA pela ajuda de custo oferecida ao Autor durante o curso;
- 6. Aos amigos Dr. MARIO BENINCASA e Dra. MARGARIDA MARIA PEREIRA BENINCASA pelas críticas e sugestões à formação do Autor;
- 7. Aos amigos Dr. HERMANO VAZ DE ARRUDA e Dr. DÉCIO BAR BIN pela orientação nos testes estatísticos.

- 8. Aos colegas ANTONIO GARCIA, JOÃO LUIZ GIGLIOLI e LEONES ALVES DE ALMEIDA pela contribuição na realização deste trabalho;
- 9. Aos companheiros de curso pelo ambiente de confiança e dedicação estabelecido dentro do curso;
- 10. A todos que nas atividades de campo, nos serviços de cálculo e datilografia contribuiram da melhor forma para a realização deste trabalho.

# INDICE

		ragina
1.	INTRODUÇÃO	1
2.	REVISÃO BIBLIOGRÁFICA	ц
3.	MATERIAL E MÉTODOS	17
-	3.1. Material	17
	3.1.1. Área Experimental	17
	3.1.2. Variedades	17
	3.1.3. Espaçamentos	19
	3.1.4. Épocas	20
	3.1.5. Delineamento Experimental	20
	3.1.6. Observações Meteorológicas	21
	3.1.7. Observações Fenológicas	21
	3.1.8. Dados de Produção	22
	3.2. Métodos	22
	3.2.1. Duração de Fases	22
	3.2.2. Estimativa do Balanço de Radiação de <u>On</u>	
	da Curta	23
	3.2.3. Estimativa de Graus-dia	24
	3.2.4. Análise da Distribuição da Precipitação	
	e da Variação da Temperatura do Ar	25
	3.2.5. Análise Estatística	25
	3.2.6. Testes de Correlação	25
4.	RESULTADOS OBTIDOS	27
5.	DISCUSSÃO DOS RESULTADOS	45
6.	CONCLUSÕES	50
7.	RESUMO	53
8.	SUMMARY	5 5
9.	BIBLIOGRAFIA CITADA	57
	APÊNDI CE	6.3

# LISTA DAS TABELAS

	h.	·	Pagina
Tabela	1.	Dados referentes às características das variedades utilizadas nos ensaios	19
Tabela	2.	Valores dos indices de desenvolvimento e produção da variedade <u>Paraná</u> (período de plantio 24/11/75 a 12/01/76)	28
Tabela	3.	Valores dos índices de desenvolvimento e produção da variedade <u>Paraná</u> (período de plantio 19/01/76 a 08/03/76)	29
Tabela	¥.	Valores dos indices de desenvolvimento e produção da variedade <u>Davis</u> (período de plantio 24/11/75 a 12/01/76)	30
Tabela	5.	Valores dos índices de desenvolvimento e produção da variedade <u>Davis</u> (período de plantio 19/01/76 a 08/03/76)	31
Tabela	6.	Valores dos índices de desenvolvimento e produção da variedade <u>Viçoja</u> (período de plantio 24/11/75 a 12/01/76)	32
Tabela	7.	Valores dos índices de desenvolvimento e produção da variedade Viçoja (período de plantio 19/01/76 a 08/03/76)	33
Tabela	8.	Valores dos índices de desenvolvimento e produção da variedade <u>UFV-1</u> (período de plantio 24/11/75 a 12/01/76)	34
Tabela	9.	Valores dos índices de desenvolvimento e produção da variedade <u>UFV-1</u> (período de plantio 19/01/76 a 08/03/76)	35

		•	Página
Tabela	10.	Valores obtidos para os coeficientes da equação de regressão e coeficiente de correlação considerando os índices: $I_D$ , $I_T$ e $I_k$ * respectivamente, para a variedade Paranã	. 37
Tabela	11.	Valores obtidos para os coeficientes da equação de regressão e coeficiente de correlação considerando os indices: $I_D$ , $I_T$ e $I_{k*}$ respectivamente, para a variedade Davis	. 38
Tabela	12,.	Valores obtidos para os coeficientes da equação de regressão e coeficiente de correlação considerando os indices: $I_D$ , $I_T$ e $I_k$ respectivamente, para a variedade Viçoja	. 39
Tabela		Valores obtidos para os coeficientes da equação de regressão e coeficiente de correlação considerando os indices: I <sub>D</sub> , I <sub>T</sub> e I <sub>k*</sub> respectivamente, para a variedade UFV-1	<b>.</b> 40

# LISTA DAS FIGURAS

	Pág	gina
Figura 1.	Variação estacional das temperaturas máxima e mínima diária do ar, e da precipitação de 24 horas. (Período: 24 de novembro de 1975 a 7 de maio de 1976)	36
Figura 2.	Curva da função produtividade x indice de desenvolvimento ( $I_{k*}$ e $I_{T}$ ) para a varieda de <u>Paraná</u> em três espaçamentos: 30 x 5 ( $E_{30}$ ), 45 x 5 ( $E_{45}$ ) e 60 x 5 ( $E_{60}$ )	41
Figura 3.	Curva da função produtividade x indice de desenvolvimento ( $I_{k*}$ e $I_{T}$ ) para a varieda de <u>Davis</u> em três espaçamentos: 30 x 5 ( $E_{30}$ ), 45 x 5 ( $E_{45}$ ) e 60 x 5 ( $E_{60}$ )	42
Figura 4.	Curva da função produtividade x indice de desenvolvimento ( $I_{k*}$ e $I_{T}$ ) para a varieda de <u>Viçoja</u> em três espaçamentos: 30 x 5 ( $E_{30}$ ), 45 x 5 ( $E_{45}$ ) e 60 x 5 ( $E_{60}$ )	43
Figura 5.	Curva da função produtividade x indice de desenvolvimento ( $I_{k*}$ e $I_{T}$ ) para a varieda de <u>UFV-1</u> em três espaçamentos: 30 x 5 ( $E_{30}$ ), 45 x 5 ( $E_{45}$ ) e 60 x 5 ( $E_{60}$ )	44

#### 1. INTRODUÇÃO

Ao se atentar para os problemas que envolvem a produção de alimentos observa-se que as plantas, máquinas bioconversoras, não podem funcionar como "caixas surpresa" atuando como ponto de estrangulamento na economia dos países. As plantas tem reagido de forma pouco conhecida às variações de tempo e esta reação, quando quantificada, permite ao homem lançar mão de medidas alternativas que podem tornar menos drásticos os efeitos destas variações.

Nos últimos cinco anos as técnicas de análise de comportamento de planta têm acompanhado o desenvolvimento das pesquisas em todas as áreas, participando de soluções globais encontradas para diversos problemas da agricultura. Exem plos convincentes são os estudos de relações planta-solo-atmos fera apresentados nos relatórios das equipes multidisciplinares que desenvolvem os programas de micrometeorologia.

Os trabalhos desenvolvidos caracterizam as plantas segundo um sistema termodinâmico aberto cujo processo de troca de massa e energia com o meio ambiente se faz através da fotossíntese e da respiração. Este tipo de enfoque permite a caracterização de uma planta, sob a forma global, através de um sistema de equações onde as variáveis dependentes são as respostas das plantas sob a forma de fotossíntese líquida, respirador de servicio de servicios de servicios

ração, produção de grãos, crescimento e desenvolvimento e as variáveis independentes são os elementos do meio físico como energia radiante, água, gás carbônico, elementos minerais e os elementos característicos da própria planta que são representa dos pela sua carga genética que compreende a capacidade fotossintética e a arquitetura: estes resultados tem orientado programas de melhoramento, com excelentes resultados, que sem um conhecimento detalhado de causa-efeito não se pode desenvolver.

A análise do comportamento vegetal é feita de acordo com a disponibilidade de equipamentos e o método de medida empregado nas observações dos elementos a que a planta irá reagir. Assim sendo os estudos de parâmetros micrometeorológicos exigem que, na planta, sejam observada a fotossínte se e a respiração ao nível de planta e de comunidade. Para estudos climatológicos as observações fenológicas são suficientes para que se faça uma análise satisfatória.

No Brasil pouco se tem feito na área de ecofisiologia, o que tem retardado o desenvolvimento dos programas de pesquisa. A área de climatologia agrícola, que analisa os efeitos do clima sobre as plantas, está se desenvolvendo de forma acelerada à medida que são exigidas, do técnico, informações antecipadas sobre a produtividade.

A previsão de produção, baseada em variações do tempo em uma determinada fase do ciclo da planta, exige do pes quisador um bom conhecimento do comportamento vegetal numa macroescala e em condições de campo. Esta previsão tem participado de programas que envolvem: política de financiamento, transporte, armazenagem e colheita.

Atualmente, devido à ausência de informações sobre comportamento de plantas e à deficiência dos sistemas de coleta de dados climatológicos, a previsão da produção agrícola e o planejamento de plantio-colheita tem se baseado nos dados de produtividade e da duração do ciclo de variedades com

base na média de uma série de cinco anos de plantio sob as mes mas técnicas de cultivo. A falha deste método está em considerar perfeitamente cíclica e com período anual a variação do tempo quando alguns elementos como precipitação e radiação solar variam entre anos nas suas estações de forma cíclica mas com período ainda desconhecido para muitos locais: este método despreza, ainda, valores extremos de produção que representam verdadeiros pontos de estrangulamento da economia da empresa agrícola.

Esta pesquisa desenvolve e discute uma série de equações que permitem a estimativa da produtividade de quatro variedades de soja (<u>Glycine max</u> (L.) Merril) em três populações, considerando a duração de cada fase do desenvolvimento da planta o balanço de radiação de onda curta acumulado em cada fase do desenvolvimento e os graus-dia acumulados entre 10°C e 30°C para as mesmas fases.

#### 2. REVISÃO BIBLIOGRÁFICA

O desenvolvimento de modelos para se conhecerem os efeitos dos elementos do clima sobre o comportamento da planta tem sido amplamente estudado sob dois aspectos básicos: o primeiro se refere a estimativa da duração de fases fenológicas e o segundo visa a previsão da produção.

Pelo estudo dos modelos que têm sido testados nota-se que a duração das fases fenológicas é uma função das variáveis do meio ambiente, para as quais a planta é sensível em cada fase do seu desenvolvimento, ao passo que a produção vegetal está condicionada à duração destas fases dentro do ciclo vegetativo.

BAIER e ROBERTSON (1968) estimaram a produção de grãos, em soja, a partir das variações da umidade do solo e a compararam com outros três modelos onde consideravam, num a precipitação pluviométrica, noutro a temperatura máxima do ar no abrigo termométrico e em um terceiro a temperatura mínima do ar. Estes quatro modelos foram testados a partir dos mesmos dados de produção e as vantagens do modelo que se baseava nas variações da umidade do solo, foram discutidas com base nos coeficientes de correlação encontrados. O modelo no qual se considerava a precipitação foi aquele que apresentou o menor coeficiente de correlação justificado pelos autores como sendo o reflexo de chuvas excessivas, ocorridas no período vegetati-

vo, pois o modelo não considerava os limites superiores de pre cipitação. Os modelos térmicos não apresentaram uma ajustagem satisfatória entre os valores calculados e estimados fato que é explicado como sendo devido ao efeito das temperaturas elevadas na taxa de evapotranspiração o que afeta, negativamen te, a produção. TORRIE e BRIGGS (1955) apresentaram um estudo da qualidade do grão de soja em função das variações do meio ambiente. Os autores não fornecem uma quantificação destas variações, apenas admitem que elas existem com as diferentes épocas de plantio. Concluem, finalmente, que as interações variedade x época não são significativas para teor de óleo e proteína no grão, o que permite concluir que o teor de óleo não varia com a época mas apenas com a variedade. HOWEL e JACKSON (1953) também estudaram o teor de óleo do grão de soja para vá rias épocas de plantio e diferentes variedades. Trabalhando com ll variedades e considerando a média de 5 locais, durante 3 anos, os autores correlacionaram os teores de óleo com as temperaturas máxima e mínima diárias do ar para os períodos de 50-40, 40-30, 30-20, 20-10 e 10-0 dias antes da maturação. coeficientes de correlação variaram entre 0,83 e 0,33. lores maiores se referem às variedades precoces e temperaturas máximas do ar. Quanto aos períodos, aqueles correspondentes a 40-30 e 30-20 dias antes da maturação, foram os mais representativos para todas as variedades. Os autores não identifi cam os estágios fisiológicos equivalentes aos períodos estudados, o que dificulta a análise dos efeitos. Trabalho de difi cil análise é também apresentado por JOHNSON e HARRIS (1969) os quais estudaram a produção de quatro variedades de (Lee, Bragg, Hardee e Hill), considerando seis espaçamentos num primeiro ano e nos dois anos seguintes estudaram as mesmas variedades em três espaçamentos. Foram observados os de produção (kg/ha e g/100 sementes) assim como os de acamamen to das plantas. Os autores apresentam curvas de produção com um patamar característico no espaçamento 90 x 4cm para todas as variedades em todos os anos. Este patamar representa um nível mais baixo de produção para cultivares mais precoces com queda de produção na densidade de plantio correspondente a 13 plantas por metro, enquanto nos cultivares tardios este patamar extende-se até o espaçamento de 52 plantas por metro, sem que se observe queda acentuada na produção média por área. A altura média das plantas apresenta valores maiores com o aumento da população até 26 plantas por metro. Os autores discutem a altura da planta associada à produção sugerindo, apenas através de observação visual, que o aumento no número de plantas acarreta um maior crescimento das mesmas o que contribui para uma elevação na inserção das vagens, facilitando a colheita. Outro parâmetro discutido refere-se à variação anual da produção média por espaçamento, o que se atribui à precipitação do mês de agosto quando os plantios em todos os anos foram feitos na primeira quinzena de maio.

Procurando identificar, ainda, os efeitos meio sobre a produtividade, usando uma metodologia de macro es cala, BASNET et al (1974) estudaram os efeitos da altitude na produção de grãos e nas características fenológicas de oito va riedades de soja com dois hábitos de crescimento. Os ensaios foram conduzidos durante dois anos, 1971 e 1972, em duas áreas, uma localizada a uma altitude de 1.394 metros outra 1.636 metros. As observações realizadas foram apenas de temperaturas máxima e mínima do ar e fenológicas. A caracteriza ção térmica foi feita para a área mais baixa e as observações fenológicas realizadas para as duas áreas porém, só para o fim do ciclo. A área mais alta foi considerada a mais fria, como um efeito da altitude. Os autores apresentam como resultado, na área mais alta, plantas com um maior número de dias plantio e início da floração, uma melhor qualidade da semente e um ataque menos intenso de pragas e doenças como efeito indi reto da altitude, através da temperatura. BROWN (1960), BROWN e CHAPMAN (1960) numa série de artigos referentes à ecologia da soja descrevem um modelo de desenvolvimento desta cultura. O modelo foi descrito para três variedades cultivadas na região de Ontario, no Canadá. O estabelecimento do modelo apre

sentou duas etapas distintas. Na primeira, BROWN (1960) defi niu, em condições controladas, a relação entre temperatura e desenvolvimento baseado em resultado de trabalhos durante quatro anos (1954 a 1958) com duas variedades de soja (Midwest e Clark). O autor, em experiências anteriores, havia observado que a duração do período noturno desde a germina ção até o florescimento, num fotoperíodo de 12 a 16 horas é uma característica para cultura de soja. A partir do conhecimen to deste fato BROWN definiu o termo taxa de desenvolvimento co mo sendo a razão TD =  $\frac{10.000}{\text{NHT}}$ , onde NHT é o número de horas noturnas da germinação até a floração. Como resultado, apresenta uma curva da função taxa de desenvolvimento x temperatura esclarecendo que, para as duas variedades estudadas, não há di ferença na taxa de desenvolvimento até o limite de 21°C. Acima de  $21^{\circ}$ C as variedades apresentaram diferenças acentuadas na queles valores pois a variedade precoce mostrou um decréscimo na taxa de desenvolvimento para valores de temperatura imediatamente acima de 21°C, e a variedade tardia (Midwest) só apresentou ligeira queda próximo a 30°C. A partir desta curva o autor sugere (1) uma equação de desenvolvimento como função da temperatura  $(Y = 4,39X - 0,0256X^2 - 155,18)$  onde Y é a taxa de de senvolvimento e X a temperatura constante até a floração (°F); (2) uma temperatura base que é aquela onde a taxa de desenvolvimento é zero, e que foi obtida pelo prolongamento da curva, que representa a função desenvolvimento, até o ponto em cortava o eixo das temperaturas, valor este igual a 10°C e (3) uma temperatura ótima mostrando a maior taxa de desenvolvimento e representada pelo ponto de inflexão da curva da função desenvolvimento que correspondeu ao valor 30°C. clarece: que todos os resultados podem ser considerados para as duas variedades. Na segunda etapa BROWN e CHAPMAN (1960) testaram, em condições de campo, os resultados obtidos em casa de vegetação. Os ensaios foram conduzidos com bastante crité rio nas observações fenológicas e climáticas, permitindo cluir que a temperatura está altamente correlacionada com

taxa de desenvolvimento e que a correlação é linear nas diversas fases fenológicas, mas os coeficientes variam em cada uma destas fases. No período da pré-floração a reta é tangente à curva obtida em condições controladas, no ponto referente a temperatura em que se iniciam as diferenças entre variedades. No período pós-floração a reta corta a curva no mesmo ponto. A diferença nos coeficientes é apresentada como uma mudança de sensibilidade à temperatura, entre as duas fases. A discrepân cia entre as curvas obtidas nas duas etapas é atribuída à umidade de solo que, nesta segunda etapa, participa do modelo. Os autores conduziram ensaios em diversas condições de precipitação e apresentaram uma família de retas representativas da função desenvolvimento. A partir destas retas sugeriram um conjunto de equações para a estimativa da taxa de desenvolvimento como função da temperatura e dos níveis de precipitação.

Os modelos de desenvolvimento devem ser simples, de fácil aplicação e se possível dinâmicos, envolvendo parâmetros comumente observados em postos meteorológicos ou no próprio campo de cultivo. MAJOR et alii (1975a) desenvolveram, para a soja, uma equação de duas variáveis considerando apenas o fotoperiodo e a temperatura do ar. Um modelo é considerado dinâmico quando passível de sofrer modificações que incluam no vas variáveis do meio ambiente ou da própria planta. lhos de SAKAMOTO e SHAW (1967), BLAD e BAKER (1972) DORNHOFF e SKIBLES (1970) mostraram que as diferenças de produ ção em cultivares de soja foi um reflexo apenas das suas arqui teturas, que propiciaram um melhor aproveitamento das condições do meio físico apresentando maior fotossíntese liquida, quando cultivados num mesmo ambiente. Uma característica varietal, pouco considerada nos trabalhos de biometeorologia, é o hábito de crescimento. EGLI e LEGGETT (1973) estudaram esta característica em duas variedades de soja. Os autores seguiram o método clássico de análise de crescimento e separaram a matéria seca da parte vegetativa e a da parte reprodutiva. As variedades tinham o mesmo ciclo. O modelo de crescimento

até 120 dias era o mesmo para as duas variedades. Após este período a variedade de hábito determinado mostrou perda acentuada na matéria seca total. Outra característica observada foi que a matéria seca na época da floração era 75% do total. A variedade de habito indeterminado não apresentou perda de pe so e apenas 60% de seu peso total na época da floração. são as características citadas pelos autores como diferença en Eles procuram correlacionar a formação de tre as variedades. matéria seca com o número de dias após o plantio, encontrando uma equação do primeiro grau para o material reprodutivo segundo grau para o material vegetativo e para o total. coeficientes diferem para as duas variedades o que vem esclare cer a diferença observada na taxa de crescimento relativo. modelo mais complexo de previsão de produção é apresentado por MURATA (1975) como uma evolução dos modelos de estimativa produção de arroz. Este modelo adiciona, aos já desenvolvidos, o resultado das interações do meio com a planta e sugere dois sub-modelos: um de fotossintese bruta, que seria uma fun ção da iluminação máxima do dia, do índice de área foliar, coeficiente de extinção, da transmissividade do ar e do total diário de radiação solar global e o outro um sub-modelo respiração que seria uma função do índice de área foliar e da fotossintese de uma folha. O autor esclarece que as determinações feitas no período de 40 a 120 dias após a germinação, são as mais representativas e que as folhas a serem consideradas no segundo sub-modelo são apenas aquelas com a idade superior a 80 dias.

Nesta primeira parte da revisão bibliográfica procurou-se mostrar trabalhos recentes realizados com a soja e que, apesar de apresentarem conclusões puramente agronômicas, poderiam ser melhor aproveitados desde que analisados sob o ponto de vista agrometeorológico, ou melhor, se vários elementos de clima tivessem sido observados e considerados.

Quanto aos métodos de unidades biometeorológicas o trabalho mais antigo e que usa a temperatura para explicar a resposta das plantas às variações climáticas foi realiza do por REAUMUR (1735). Este trabalho tem sido revisto muitos pesquisadores como THORNTHWAITE et al (1954), HOLMES ROBERTSON (1959), WANG (1960) e ROBERTSON (1968) sendo que todos estão preocupados com o estabelecimento de uma equação tão simples quanto possível e que possa demonstrar a reação plantas quando sujeitas a faixas ótimas de temperaturas são específicas para as espécies. O esquema, inicialmente apresentado por Reaumur, considerava que uma espécie ou cultivar, requer o mesmo somatório (k) de temperaturas médias diárias ( $T_m$ ) do plantio (P) a maturação (M) independentemente dos extremos de temperatura aos quais a planta esteve submetida, ou mesmo ao tempo sob os quais ficaram sujeitas aquelas temperaturas.

Assim, poder-se-ia escrever:

$$k = \sum_{p} T_{m}$$
 (1)

considerando  $T_{\rm m}$  igual a zero quando o seu valor for negativo. A equação (1) pode ser apresentada sob a seguinte forma:

$$k = \sum_{p} (T_{m} - a)$$
 onde  $(T_{m} - a) = 0$  quando  $T_{m} \le a$  (2)

onde a é uma constante chamada temperatura base, específica para a espécie ou cultivar. Considera-se temperatura base aque la acima da qual a planta inicia seu desenvolvimento. Estes estudos estão sendo amplamente desenvolvidos em nossos dias, procurando-se incluir as variáveis temperatura mínima, tempera tura ótima e temperatura máxima de desenvolvimento para cada espécie ou cultivar. ROBERTSON e HOLMES (1958) afirmam que, além das variações nos valores destas temperaturas, em função da espécie, é de se notarem diferenças nos valores de temperatura mínima, ótima e máxima conforme as fases de desenvolvimen to das plantas. Analisando o aspecto de somatório de graus das fases de desenvolvimento os autores afirmam que algumas

espécies de dias curtos podem ter a duração de suas fases afetada pelo aumento de temperatura em algumas épocas do ano. Estes autores propõem um método de cálculo baseado na temperatura média mensal e no fotoperíodo médio mensal. A equação proposta por ROBERTSON e HOLMES (1958) é a seguinte:

$$D = N \left( t - tb \right) + L \sigma N$$
 (3)

onde,

D = graus acumulados para o mês;

t = temperatura média mensal;

tb = temperatura base;

σ = desvio padrão de t;

L = coeficiente obtido em tabela (fotoperíodo em horas e décimos);

N = número de dias do mês.

Os autores discutem o método de cálculo e sua extensa aplicação em lavouras de ervilhas, planta cujo crescimento guarda uma relação linear como função da temperatura, nas regiões temperadas. A crítica mais severa a estes modelos es tá em que os cálculos são feitos utilizando-se da temperatura do ar e não da temperatura da planta. LINACRE (1964) incluin do as variações da temperatura do ar e das folhas provou que existem diferenças acentuadas tanto no período diurno como no período noturno, mas que aquelas diferenças apresentam uma cer ta proporcionalidade e concluiu que, sendo assim, o total acumulado da temperatura não seria afetado.

Discutindo a equação de Reaumur, WENT (1956) fez considerações quanto aos processos de crescimento e desenvolvimento vegetal em períodos diurnos e noturnos, concluindo que aqueles processos têm um comportamento durante o dia, que dife

re do período noturno. Sendo assim afirma que, ao utilizarse a temperatura média diária neste tipo de estudos, o pesquisador está considerando o período diurno e noturno como exercendo influências idênticas sobre as plantas o que realmente não acontece.

Desenvolvendo método de cálculo de graus-dia TISSERAND (1875 kitado por ROBERTSON (1973 ) utiliza o fotoperiodo e a temperatura do ar em seus estudos e define trabalho realizado pela planta como o produto ( $L \cdot T_m$ ) onde L é o fotoperiodo e  $T_m$  é a temperatura média diária do ar no abrigo. GARNER e ALLARD (1920) observaram e descreveram o fenômeno fotoperiodismo como o efeito do comprimento relativo do dia e da noite na taxa de desenvolvimento dos brotos florais e NUTTONSON (1948) em trabalhos com trigo, linho, beringela e ervilha definiu a constante fototérmica, numa equação onde participam temperatura e fotoperiodo:

$$\begin{array}{c}
M \\
\overline{L} \ \Sigma \ (T_m - a) = K \\
P
\end{array}$$
(4)

sendo K uma constante fototérmica e L o fotoperíodo médio para a fase fenológica estudada.

Segundo este autor, esta é a equação que melhor se ajusta para a fase emergência-floração.

As vantagens da constante fototérmica para a evolução dos métodos de graus-dia estão bastante evidenciadas nos trabalhos com ervilha realizados por REATH e WITTWER (1952) e que encontraram uma interação altamente significativa entre graus-dia x temperatura e graus-dia x fotoperiodo concluindo que os graus-dia acumulados no periodo que vai da germinação ao florescimento, decrescem com o aumento do fotoperiodo. Outro trabalho que esclarece sobre a necessidade de se considerar o fotoperiodo nestes estudos é o de PALMER (1973) que discute o comportamento dos milhos tropicais em altas latitudes. Observou que a variação do fotoperiodo afeta o porte e o ciclo da

planta. Nas altas latitudes há um decréscimo na taxa de desenvolvimento durante o período vegetativo e o período de florescimento é distendido podendo iniciar-se antes de se completar o desenvolvimento vegetativo o que acarreta uma queda na produção.

O conceito de unidades de calor ou graus-dia foi adotado pelos fabricantes de conservas procurando esquematizar a produção de acordo com a capacidade de processamento das fábricas. O trabalho de WARNOCK e ISAACS (1969) com a aplicação do método de unidades de calor ao tomate é um dos exemplos da aplicação de modelos na programação de colheitas. Os autores usaram a temperatura base de 43°F esclarecendo que esta não é fixa para todo o ciclo da planta mas se ajusta muito bem para o cálculo do tempo necessário à maturação, nos programas de plantio. BROWN (1976) mostra um modelo de plantio escalonado para o milho doce, onde as unidades de calor são obtidas através da fórmula:

U.C. = 
$$\frac{(T - 50) + (t - 40)}{2}$$
 (5)

sendo,

T = temperatura minima do periodo diurno;

t = temperatura minima da noite;

U.C. = unidades diárias de calor (OF).

Esta equação considera que o milho cresce entre 40°F e 50°F e foi desenvolvida com correção para dias nublados. NEWMAN et alii (1967) em trabalhos de previsão da maturação em citrus con cluem que o balanço de radiação de onda curta é o melhor indice para se correlacionarem com a maturação de laranjas e sugerem um valor de "balanço de radiação" e que serviria como base para o acúmulo de energia. Estes resultados alertam para o desenvolvimento de outros sistemas de unidades como WALTER (1969), que procurou correlacionar graus-hora e total horário de radiação encontrando uma equação cúbica que explicava o pro

cesso para a região de Nairobi enquanto HUXLEY (1973) não encontrou correlação, para as mesmas variáveis, se aplicadas na região de Kampala. Outro trabalho que apresenta inovação no método é o de VALLI e JAWORSKI (1965) que estudaram unidades de calor em tomate e concluiram que o produto da radiação por graus-dia é um bom índice para a medida de ciclo vegetativo em tomateiro. OLIVEIRA e GOEDERT (1971) trabalhando com aspargo encontraram épocas distintas para produção na região de Pelotas. A época mais adequada é aquela em que o ciclo coincidia com o acúmulo de 322 graus-dia a partir do início de se tembro.

Os métodos de cálculo de graus-dia tem sido de senvolvidos com as publicações de tabelas e ábacos para a esti mativa dos valores acumulados como as tabelas publicadas por VILLA NOVA et al (1972) que permitem o cálculo de considerando as temperaturas máxima e mínima e a temperatura WILLIANS e Mac KAF (1970) apresentam tabelas considerando uma temperatura base acima da temperatura minima do ar e abaixo da temperatura máxima do ar. Quanto as equações de cál culo rapido, BASKERVILLE e EMIN (1969) calculam o total graus-dia pela integral da área sob a curva de variação diária da temperatura dentro dos limites considerados como base, autores admitem um erro de 5% neste método. ARON (1975) senvolveu três equações para o cálculo de graus-dia consideran do a base de 45<sup>o</sup>F e encontrou coeficientes de correlação 0,979, 0,988 e 0,989. Estes coeficientes correspondiam respectivamente às equações que utilizavam temperatura média diária do ar; temperatura e umidade relativa média diária do ar; temperatura do termômetro de bulbo úmido e cobertura de nuvens em décimos.

As críticas ao método das unidades de calor não tem limitado o seu uso mas sim estimulado o seu desenvolvimento.

FRANQUIN (1968) trabalhando com três espécies: algodão, amendoim e sorgo, estudou uma série de relações fenotípicas entre produção econômica, produção biológica e elemen-

tos do meio. A relação entre o número de frutos em cada especie e a temperatura média diária do ar apresentou uma forma quadrática e a relação entre o número de brotos e a temperatura média diária do ar foi linear. O autor fornece explicações para o comportamento diferencial das espécies sensíveis e insensíveis ao fotoperíodo assim como para as espécies de florescimento terminal e axial.

MAJOR et alii (1975a) usaram uma equação quadr<u>á</u> tica descrita por ROBERTSON (1968) que é uma função de duas variáveis: fotoperiodo e temperatura. Através desta equação os autores separam os efeitos de temperatura e fotoperiodo sobre a soja, calculando os graus-dia acumulados para as bases 10 e 30°C para dois cultivares concluindo que entre eles houve pouca variação. Os autores afirmam que os cultivares tardios são mais sensíveis às interações fotoperiodo x temperatura do que os cultivares precoces a esta sensibilidade só é detectada na fase plantio-floração.

Já ficou demonstrado que as temperaturas base são características de um cultivar. BERLATO e SUTILI (1976), trabalhando com milho, determinaram a temperatura base inferior para três cultivares através do método de menor desvio padrão. Este método consiste no cálculo de graus-dia para diferentes épocas de plantio, com diferentes temperaturas base e aquela que apresentar o menor desvio padrão é considerada como a temperatura base para o cultivar. Os autores determinaram as seguintes temperaturas base: para os híbridos Pioneer 309-B (4°C); para o Pioneer X-307 (6°C) e para o Save 231 (8°C). VALLI e JAWORSKI (1965), precursores do método utilizado por BERLATO e SUTILI (1976), trabalhando com tomate, determinaram a temperatura base de 50°F com um coeficiente de variação de 14% e um total de graus-dia correspondente a 777.

A introdução da fotossintese e da respiração tem preocupado os pesquisadores que desenvolvem modelos. UTAAKER

(1968) e KUROIWA (1968) analisando a fotossíntese bruta como função da temperatura e fotoperíodo, e a respiração como função das temperaturas máxima e mínima introduziram o conceito de respiração equivalente como sendo a fase do processo fotossintético limitado pela temperatura.

$$RE = \sum_{i=1}^{n} R_{e_i} N_i$$

onde,

RE = respiração equivalente;

R<sub>e;</sub> = respiração válida para temperatura i;

N = número de intervalos de temperatura i;

n = número de classes de intervalos i.

A evolução do modelo estudado está na subdivisão dos intervalos de temperatura e na análise do processo fotossintético dentro deste intervalo. Os autores discutem a validade do modelo para regiões com problemas térmicos.

# 3. MATERIAL E METODOS

# 3.1. Material

# 3.1.1. Ārea Experimental

Os ensaios foram conduzidos na fazenda experimental da Fundação Instituto Agronômico do Paraná, localizada numa latitude de 23<sup>0</sup>23'S, longitude de 51<sup>0</sup>11'W e altitude de 566 metros, em uma mancha de solo latossol roxo destrofilo no município de Londrina, Estado do Paraná.

A fazenda experimental, assim como o Instituto Agronômico, foi montada para desenvolver trabalhos de pesquisa com os diversos produtos agropecuários já explorados e a serem implantados no Paraná. A fazenda experimental tem uma área de 250 ha onde estão instalados todos os setores de apoio a pesquisa como é o caso da estação agroclimatológica onde foram co letados os dados para o presente trabalho.

#### 3.1.2. Variedades

A recomendação de uma variedade, para cultivo

em uma região, é feita pela comissão técnica estadual e é baseada numa série de características. As principais são: resistência a doenças e produtividade.

A comissão técnica do Instituto Agronômico do Paraná recomenda, em média, oito variedades de ciclos diversos para serem cultivadas em uma região, o que permite ao produtor uma grande liberdade na escolha de uma ou mais variedades a se rem cultivadas. A liberdade de escolha parece bastante ampla, mas não o é se atentarmos para os problemas da disponibilidade de sementes e de máquinas para a colheita.

O número de máquinas disponíveis é que tem limitado as possibilidades de escolha do produtor e assim diversos tipos de variedades são plantadas para que não haja maturação dos cultivares numa mesma época.

Procurando fazer com que os resultados sejam os mais significativos para as variedades de soja cultivadas no Estado do Paraná foram escolhidas, com base em informações for necidas pela equipe de pesquisadores de soja da Fundação IAPAR, quatro variedades que, pela produtividade e ciclo, podem ser consideradas como representantes dos quatro grupos de maturação adotados para o Estado.

As variedades utilizadas na pesquisa, agora apresentada, se encontram caracterizadas com detalhes na Tabela le foram as seguintes:

Parana, representante do grupo das prococes;

Davis, representante do grupo das semi-precoces;

Viçoja, representante do grupo das semi-tardias;

UFV-1, representante do grupo das tardias.

Tabela 1. Dados referentes às características das variedades utilizadas nos ensaios.

Vari <u>e</u> dade	Hábito de Cresc.	Cor da Pubesc.		Cor da semente	Cor do		Teor de proteina (%)	Ciclo (dias)
Paraná	Deter.	cinza	branca	amarela	camurça	20,0	39,8	120
Davis	Deter.	cinza	branca	amarela	camurça	21,9	40,0	126
Viçoja	Deter.	marrom	roxa	amarela	marrom	21,7	40,0	160
UFV-1	Deter.	marrom	roxa	amarela	marrom	20,5	40,6	170

#### 3.1.3. Espaçamentos

A escolha do espaçamento para a implantação de uma lavoura está condicionada ao porte da variedade a ser explorada e às condições de solo e clima que irão atuar sobre o desenvolvimento da cultura. Os plantios de variedades de porte alto ou em áreas que favoreçam o desenvolvimento de cultivares são menos densos para se evitar um auto-sombreamento excessivo.

As variedades escolhidas foram plantadas em três espaçamentos identificados por 30 x 5, 45 x 5 e 60 x 5cm onde o primeiro número indica a distância entre linhas e o segun do a distância entre plantas. Estes experimentos permitem uma simulação de todas as populações que são atualmente implantadas no Paraná.

A fixação dos espaçamentos foi feita através de uma semeadura excessiva com posterior desbaste após a emergência.

# 3.1.4. Épocas

No estado do Parana a escolha da época de plantio da soja não tem o mesmo fator limitante encontrado no Rio Grande do Sul pela presença do trigo. Devido a este fator a escolha é dependente, exclusivamente, da disponibilidade hídrica no solo e da sensibilidade das variedades ao fotoperíodo.

As recomendações técnicas são para um plantio na primeira quinzena de novembro podendo ser estendida em função da variedade usada. Plantios mais precoces e mais tardios devem ser feitos apenas com variedades tardias.

Para este trabalho foi montado um esquema de plantio semanal iniciado no dia 24 de novembro de 1975. A frequência semanal de semeaduras foi escolhida para que se tivesse pelo menos um ensaio mensal, e como a área não era irrigada, corria-se o risco da não emergência em algumas semanas devido ao défice hídrico.

No período estudado não houve défice hídrico e a emergência se processou normalmente em todas as semanas. Fo ram consideradas uma série de dezesseis plantios consecutivos em que as produções observadas apresentaram níveis satisfatórios.

#### 3.1.5. Delineamento Experimental

Os ensaios semanais eram montados em um esquema 4 x 3 com parcelas subdivididas para os três espaçamentos considerados e com uma superfície de 20m². As montagens foram feitas em áreas homogeneizadas quimicamente e bastante próximas de forma que, com a sequência de plantios, formou-se uma comunidade de soja em diferentes estágios de crescimento.

Este tipo de montagem exigiu um controle bastan

te rígido de pragas e doenças para se evitar que um plantio funcionasse como fonte de inoculo ou hospedeiro de doenças para os plantios seguintes.

#### 3.1.6. Observações Meteorológicas

A estação agroclimatológica principal onde foram coletados os dados, para este trabalho, está localizada den tro da área de plantio.

Foram coletados dados referentes a: temperaturas máxima e mínima do ar em abrigo termométrico com conjunto de termômetros Fuess graduados em 0,2°C, insolação diária em heliógrafo de modelo Campbell-Stokes marca Fuess, radiação solar total diária registrada em actinógrafo modelo Robitzch marca Fuess com rotação semanal e precipitação total de 24 horas em pluviômetro modelo Ville de Paris instalado a 1,5m do solo.

Todos estes equipamentos foram recentemente ins talados pelo autor, segundo as normas internacionais preconiza das pela Organização Meteorológica Mundial para este modelo de estação.

# 3.1.7. Observações Fenológicas

O método de identificação de estágios fenológicos usado neste trabalho foi aquele preconizado na bibliografia e adotado pela equipe de fitotecnistas e melhoristas do Instituto Agronômico do Paraná para a identificação de cultivares introduzidos e desenvolvidos por esta instituição de pesquisa.

Os estágios são os seguintes:

 a) Emergência — quando mais de 50% das plantas emergiram do solo;

- b) Início da floração quando 10% das plantas apresenta rem pelo menos uma flor;
- c) Início da formação de vagens quando 10% das plantas possuirem vagens de mais de 2 cm;
- d) Término da floração quando 90% das plantas não apresentarem flores; e
- e) Maturação fisiológica quando 75% das folhas da vege tação estiverem amadurecidas e cairem.

. 0 esquema utilizado para estas observações foi o de visita diária ao campo experimental com observação em todas as variedades e estágios de crescimento. O observador de vidamente treinado era capaz, a partir de observação visual, de identificar o estágio em que se encontrava cada parcela.

#### 3.1.8. Dados de Produção

Os dados referentes a produção foram obtidos com a colheita da sub-parcela e posteriormente convertido em produção por área, devido ao fato de que as sub-parcelas não tinham a mesma área útil. O produto da colheita, antes da pe sagem, era uniformizado quanto à umidade, através da secagem em estufa a  $50^{\circ}$ C.

# 3.2. Métodos

#### 3.2.1. Duração de Fas**e**s

A duração do ciclo das variedades e a duração das fases de desenvolvimento das plantas foram obtidas com a

contagem do número de dias que correspondiam aos estágios limite das fases. Não foi considerada, neste trabalho, a fase plantio-emergência concordando com o trabalho de VALLI e JAWORSKI (1965) que estabelece que a duração da fase plantio-emergência é dependente, quase exclusivamente, da umidade de solo, o que torna bastante difícil a sua quantificação baseada em dados observados em estações agroclimatológicas, onde este parâmetro não é comumente medido.

Com esta ressalva são identificadas, para estudo, cinco fases de desenvolvimento:

- la. fase: de emergência ao início da floração;
- 2a. fase: do início da floração ao início da formação de vagens;
- 3a. fase: início de formação de vagens ao fim da floração;
- 4a. fase: fim de floração à maturação fisiológica; e
- 5a. fase: emergência à maturação fisiológica.

0 autor deste trabalho define a duração de cada uma das fases como um "índice de desenvolvimento"  $\mathbf{I}_{\mathrm{D}}$ .

# 3.2.2. Estimativa do Balanço de Radiação de Onda Curta

O balanço de radiação de onda curta é um elemento que pode ser facilmente observado ou estimado em uma estação agroclimatológica desde que existam equipamentos para medida da insolação ou da radiação solar global de onda curta.

O balanço de radiação de onda curta foi estimado a partir dos dados diários de radiação solar global, de onda curta, (K↓) observados e com a aplicação da equação  $R_{T} = -123,8 + 0,66 \text{ K} \det \text{erminada por MOTA (1976)}.$ 

Os valores diários de radiação solar global, de onda curta, (K,) foram obtidos pela cotação horária dos gráficos de actinógrafo, considerando o valor das meia-horas como o representativo do período horário.

Os valores diários de radiação líquida de onda curta foram acumulados para as 5 fases consideradas. O autor adota cada um desses valores acumulados como "índice de desenvolvimento" ( $I_{k*}$ ).

#### 3.2.3. Estimativa de Graus-dia

Os graus-dia (G.D.) foram estimados usando as temperaturas máxima e mínima do ar observadas em abrigo meteo rológico e acumulados para cada uma das cinco fases usando o seguinte modelo:

G.D. = 
$$\sum_{i=1}^{n} (\frac{T_{max} + T_{min}}{2}) - 10$$

Em que foi considerada uma temperatura máxima igual a  $30^{\circ}$ C sempre que esta fosse igual ou superior a  $30^{\circ}$ C, uma temperatura mínima igual a  $10^{\circ}$ C sempre que a mesma fosse igual ou inferior a  $10^{\circ}$ C e a duração de cada fase (n).

Este modelo é apresentado por MAJOR et al (1975b) como o que melhor se ajusta para os cálculos de graus-dia para a soja. Como observamos na definição, o modelo considera para a soja as temperaturas base de 10 e 30°C. Estes valores concordam com aqueles encontrados na bibliografia, como sendo valores médios para todas as variedades já estudadas e em qual quer fase de desenvolvimento.

Os valores de graus-dia (G.D.) acumulados tam-

bém são considerados como "índice de desenvolvimento" ( $I_T$ ).

# 3.2.4. Análise da Distribuição da Precipitação e da Variação da Temperatura do Ar

Os totais de 24 horas de precipitação foram dis tribuídos diariamente durante o desenvolvimento dos ensaios de forma a permitir uma análise da disponibilidade hídrica no solo nas diversas épocas de plantio e nas fases de desenvolvimento.

O comportamento térmico do ar é analisado em base diária através das curvas de temperaturas máxima e mínima durante o desenvolvimento dos ensaios. Nestas curvas são mar cadas as temperaturas base para permitir uma análise dos erros que possam ter sido cometidos com a sua adoção.

#### 3.2.5. Análise Estatística

A produção de grãos das variedades, em todas as épocas e espaçamentos, foram analisadas estatisticamente seguindo o esquema fatorial 4 x 3 x 16 sem repetição.

As interações significativas foram desdobradas para que o autor pudesse detectar os pontos de interação significativa.

#### 3.2.6. Testes de Correlação

Com base nos resultados estatísticos, o autor testou o grau da correlação entre a produção de grãos e os "in dices de desenvolvimento" ( $I_{k*}$ ,  $I_{T}$ ,  $I_{D}$ ).

Devido a baixa variação dos índices de desenvol

vimento, foi tomado um valor médio destes índices para a varie dade em cada época de plantio.

Os resultados dos testes de correlação indicaram as equações de regressão que poderiam ser estabelecidas para a estimativa da produção de grãos a partir de cada um dos índices de desenvolvimento estabelecidos.

#### 4. RESULTADOS OBTIDOS

Os resultados obtidos e os calculados para cada ensaio s $\tilde{a}$ o apresentados em tabelas e figuras.

Nas tabelas de 2 a 9 são mostrados os valores de produção, duração das fases, balanço de radiação de onda curta e graus-dia acumulados para cada fase e que correspondem aos diversos índices de desenvolvimento caracterizados pelo au tor. Os resultados são apresentados de forma individual para cada variedade, para cada espaçamento e para cada época.

A figura l representa a variação das temperaturas máxima e mínima e da precipitação diárias durante os ensaios. Para visualização dos limites de temperatura considerados é assinalado nesta figura as temperaturas base com valor superior igual a 30°C e valor inferior igual a 10°C.

As tabelas 10 a 13 e figuras 2 a 5 foram compos tas com os resultados das regressões obtidas entre a produção e os indices de desenvolvimento estabelecidos para as fases: emergência-início de floração e emergência-maturação fisiológica. Estas figuras foram montadas com o intuito de tornar bas tante claro o comportamento das retas assim como os seus pontos de convergência. As setas introduzidas mostram os limites para os indices em cada ensaio estudado.

Valores dos indices de desenvolvimento e produção da variedade <u>Paraná</u> (período de plantio 24/11/75 a 12/01/76) Tabela 2.

			1, TD 1	ว บ	מבת ה	ar aria	ر ب	מדוד	כ מ	7,491	7 0 7 7 1	T	2	0/7T 0	<b>1</b> 0//T0/7		
FPOCA	ESPA-	la.	fase		2a.	fase	- cestalpopping	3a.	fase		₽.	fase		5a	fase		PROD.
	MENTO	, X	H	Q <sub>I</sub>	Ľ,	[-4 H	ΩH	H X	H	Ω <sub>I</sub>	H X,	H	H	T,	H	I	kg/ha
24/11/75	30 45 60	12715 12383 12052	631 616 601	51 50 49	1959 2309 2641	83 98 113	9 7 8	541 541 541	25 25 25	2 2 2	10924 10924 10924	403 403 403	8 8 8 6 6 6	26140 26159 26159	1233 1233 1233	97 97 97	2785 2290 2900
01/12/75	30 45 60	13389 13389 13389	661 661 661	222 ttt	1929 1929 1929	18 84 84	0 0 0	2589 2589 2589	121 121 121	თთთ	11837 11837 11837	557 557 557	12 12 12 13	29746 29746 29746	1425 1425 1425	თ თ თ თ თ თ	2580 3060 3620
08/12/75	30 45 60	11358 11358 11358	569 569 569	다다다	2195 2195 2195	0 0 0 0 0 0	7 7 7	2480 2480 2480	120 120 120	თთთ	11866 11866 11866	572 572 572	0000 11000 11000	27901 27901 27901	1357 1357 1357	100	1560 2210 2260
15/12/75	30 45 60	9 8 8 8 8 8 8 8 8 8 8 8 8 8 8 8 8 8 8 8	504 504 504 504	36 8	2411 2411 2411	120 120 120	თ თ თ	1653 1653 1653	78 78 78	000	13276 13276 13276	626 626 626	0 0 0 0 0 0	27237 27237 27237	1330 1330 1330	100	700 1435 1700
22/12/75	30 45 60	10094 10094 10094	511 511 511	37 37 37	2187 2187 2187	106 106 106	ω ω ω	2280 2280 2280	08 80	7 7 7	11981 11981 11981	200 200 200 200	0 0 0 t t t	26544 26544 26544 26544	1291 1291 1291	100 100 100	1855 1955 2475
29/12/75	30 45 60	10643 10643 10643	500 500 500	36 36	2522 2522 2522 2522	ი ი ი ი ი ი	ω ω ω	1799 1799 1799	000	C C C	10629 10629 10629	528 528 528	그그그	25594 25594 25594 25594	1213 1213 1213	0 0 0 0 0 0 0 0	2135 2310 2820
05/01/76	30 60 00	10755 10755 10755	†9† †9† †9†	3 3 3 3 5 3 5	2346 2346 2346	1113	თთთ	2763 2763 2763	122 122 122	თთთ	9450 9450 9450	495 495 495	4 t t	25315 25315 25315 25315	1195 1195 1195	1 1 1 0 0 0	1165 1610 1815
12/01/76	30 60 60	10210 10210 10210	9 1 9 1 9 1 1 1 1 1 1 1 1 1 1 1 1 1 1 1	34 34 34 34	2227 2227 2227	105 105 105	ω ω ω	2633 2633 2633	127 127 127	თ თ თ	9988 10330 10640	540 556 575	47 49 51	25070 25401 25711	1220 1236 1255	98 101 103	1500 1375 1515
	. *, <sub>X</sub> .	cal/cm <sup>2</sup>				 H	grai	graus-di.a	(0 <sub>0</sub> )			Ω <sub>I</sub>	 A	dias			

Valores dos Índices de desenvolvimento e produção da variedade Paraná (período de plantio 19701/76 a 08/03/76) Tabela 3.

			Var	ieda	de Pa 	rana	ьф. Гре	erioda	o de	plan	ntio	19/0	1/7	6 a 08	/03/7	<u>6</u>	
FPOCA	ESPA-	la.	fase		2a.	fase		3a.	fase		μa.	fase		5a.	fase		PROD.
7	MENTO	I <sub>k</sub> *	$\mathtt{I}_{\mathrm{T}}$	ID	$\mathbf{I}_{\mathbf{k}^{\mathbf{*}}}$	Τ̈́T	T	$\mathtt{I}_{\mathtt{k}^{\boldsymbol{k}}}$	$^{ m L}_{ m L}$	ID	I <sub>k</sub> *	$\mathbf{I}_{\mathbf{T}}^{T}$	$_{\mathrm{D}}^{\mathrm{T}}$	${\rm I}_{\rm k^*}$	$\mathbf{L}_{\mathbf{I}}$	ID	kg/ha
19/01/76	30 45 60	10619 10619 10619	479 479 479	37 37 37	1396 1396 1396	70 70 70	. ភេលស	2724 2724 2724	155 155 155	11 11	8063 7916 7916	428 419 419	# # 0 # 0 # 0	22813 22656 22656	1134 1125 1125	93 93 93	1300 1365 1535
6/01/76	30 45 60	10070 10070 10070	455 455 455	35 35 35	1989 1989 1989	113 113 113	∞ ∞ ∞	2226 2226 2226 2226	120 120 120	თთთ	6404 6578 6578	345 354 354	35 35 35	20691 20865 20862	935 1043 1043	86 87 87	905 1220 1325
02/02/76	30 45 60	9847 9841 9841	444 447 447	3 3 4 8 8 8 8 8 8 8 8 8 8 8 8 8 8 8 8 8	2527 2527 2527	137 137 137	თთთ	2158 2158 2158	87 87 87	α α α	7070 7192 7317	416 423 429	t t t 2	21597 21719 21844	1087 1095 1101	94 95 96	590 515 535
09/02/76	30 45 60	7518 7325 7020	380 367 352	28 27 26	2029 2509 2012	109 133 123	10 8	3029 3217 3319	139 152 152	13 14 14	8204 7603 8534	516 481 536	58 54 57	20780 20655 20886	1145 1134 1164	107 105 105	805 780 760
16/02/76	30 45 60	10313 9560 9816	501 478 481	39 36 37	1975 2303 2260	112 108 137	1010	255 566 467	17 35 34	t t 0	9539 9390 9910	635 632 654	80 76 85	22084 21821 22455	1266 1255 1308	131 126 136	615 685 850
23/02/76	30 45 60	7113 7378 7378	377 385 385	28 29 29	1953 1892 1892	18 06 00 00	α α α	2599 2395 2395	158 145 145	15 14 14	8916 8061 8757	589 547 577	81 71 79	20583 19727 20424	1209 1167 1198	132 122 130	665 520 360
01/03/76	30 45 60	6849 6636 6522	347 338 329	31 30 29	1402 1616 1417	93 102 90	9118	3226 3101 3292	186 180 193	20 21 22	6132 6367 6378	433 446 447	9 8 8 9 8 9	17611 17722 17611	761 1067 1061	127 130 127	520 535 130
08/03/76	30 60 60	7698 7698 7416	387 387 373	34 33 33	1383 1383 1416	79 79 86	700	2618 2618 2907	160 160 173	18 20	6367 6482 6606	446 453 459	0 0 0 0 0 0	18067 18181 18347	1074 1080 1093	128 129 128	230 610 550
	: * <sup>X</sup>	cal/cm <sup>2</sup>				: L <sub>I</sub>	grai	aus-dia	(00)				TD:	dias			

Valores dos Índices de desenvolvimento e produção da variedade  $\underline{Davis}$  (período de plantio 24/11/75 a 12/01/76) Tabela 4.

			7 2	1 1 1	) ) (1) (2)	)	ነ ) ኒ	9	) )	;	)	1	)	7 .	• •		
FDOOD	ESPA-	la.	fase	0)	2a.	fase	normolistic commun	3a.	fase		μa.	fase		5a.	fase		PROD.
F 0.5	MENTO	. <sub>7</sub> ,*	$\mathbb{T}_{\mathbb{T}}$	ID	$\mathtt{I}_{k} *$	T	TD	$\mathrm{I}_{\mathrm{k}} ^{*}$	$ ext{I}_{ extsf{T}_{-}}$	ID	$\mathtt{I}_{k^{\boldsymbol{*}}}$	ΙΙ	ID	$\mathrm{I}_{\mathrm{k}} *$	$_{\mathrm{T}}^{\mathrm{T}}$	I <sub>D</sub>	kg/ha
24/11/75	30 45 60	12715 12715 12715	631 631 631	51 51 51	2310 2310 2310	თ თ თ თ თ თ	7 7	190 190 190	12 12 12	444	14895 14895 14895	718 718 718	54 54 54	30111 30111 30111	1461 1461 1461	113 113 113	696 2310 3245
01/12/75	30 45 60	13389 13389 13389	661 661 661	45 42 42	2254 2254 2254 2254	97 97 97	7 7 7	2264 2264 2264 2264	108 108 108	ω ω ω	13559 13559 13559	654 654 654	0 0 0	31467 31467 31467	1520 1520 1520	106 106 106	2185 2890 3720
08/12/75	30 45 60	11358 11358 11358	5 6 9 5 6 9 5 6 9	그 그 그	3335 3335 3335	147 147 147	999	1692 1692 1692	0 0 0 0 0 0	ပာ ထီ ပာ	13771 13771 13771	650 650 650	51 51 51	30158 30158 30158	1435 1435 1435	108 108 108	1375 1455 1960
15/12/75	30 45 60	10436 10436 10436	533 533 533	& & & & & & & & & & & & & & & & & & &	2430 2430 2430	119 119 119	თთთ	1093 1093 1093	50 50 50	t # t	13276 13276 13276	626 626 626	0 0 0	27237 27237 27237	1330 1330 1330	100	2550 2375 2185
22/12/75	30 45 60	10094 10094 10094	511 511 511	37 37 37	2187 2187 2187	106 106 106	∞ ∞ ∞	2280 2280 2280	0 0 0	~ ~ ~	11981 11981 11981	2003 2003 2003	0 0 0 t t t	26544 26544 26544 26544	1291 1291 1291	100	1115 1920 2355
29/12/75	30 45 60	10643 10643 10643	500 500 500	36	2522 2522 2522	ი ი ი ი ი ი	ω ω ω	1799 1799 1799	06	7 7 7	10629 10629 10629	528 528 528	# # # # # # #	25594 25594 25594	1213 1213 1213	8 6 8 8 8 8 8 8 8 8 8 8 8 8 8 8 8 8 8 8	1425 2400 2660
05/01/76	30 45 60	11115	476 476 476	36 36 36	1986 1986 1986	100	ω ω ω	2763 2763 2763	122 122 122	თთთ	9450 9450 9450	495 495 495	다다다	25315 25315 25315 25315	1195 1195 1195	# # # 0 0 0 0 t	2030 1545 2010
12/01/76	30 + 5	10210 10210 10210	9†† 9†† 9††	34 34 34	5 5 5 5 8 8 8 5 5 5	52	たたた	3875 3875 3875	180 180 180	888	9988 10330 10640	540 556 575	47 49 51	25064 25405 25715	1219 1236 1255	98 101 103	860 1365 1745
	ΗŤ	I <sub>k</sub> : ca	cal/cm <sup>2</sup>					grau	graus-dia	(C <sub>O</sub> )	,			I <sub>D</sub> : di	ias		

Valores dos Índices de desenvolvimento e produção da variedade Davis (período de plantio 19/01/76 a 08/03/76) വ Tabela

د ا	12 Jan	* G + L	ğ	מן מן מן מי	1 1 1 1 1 1 1 1 1 1 1 1 1 1 1 1 1 1 1	J	2	λ η η η	3	: ה ה ה	1 0 t		<u>.  </u>	0 / 10 0 6 0 0 0 0 0 0 0 0 0 0 0 0 0 0 0 0 0	<u> </u>	
7 - T	o I		- 1	. Za.	rase	<u> </u>	п	Ø .		t t	(I)		ı	rase		PROD.
, X, , , ,	₽ I		A.	٠ *	H	P	<sup>ب</sup> *۲	E4	<u>Д</u>	<del>,</del> ,	E-i	Ą	٠ ۲	F	A.	78/11a
10619 479 10619 479 10619 479	7 7 7		37 37 37	1396 1396 1396	70 70 70	വവയ	2724 2724 2724	155 155 155	1111	8524 8524 8524	457 457 457	+ + + + + +	23237 23237 23237	1163 1163 1163	97 97 97	1300 1365 1535
10070 455 10070 455 10070 455	2020		35 35 35	1989 1989 1989	113 113 113	∞ ∞ ∞	2226 2226 2226	120 120 120	თ თ თ	8313 8400 8400	428 464 464	46 47 47	22599 22686 22686	1147 1153 1153	& 0 0 0 0 0	1065 1475 1495
9841 447 9841 447 9841 447	447 447 447		34 34 34	2527 2527 2527 2527	137 137 137	ဘတတ	2158 2158 2158	87 87 87	ω ω ω	7070 7317 7317	416 429 429	# # # 20 20	21597 21898 21898	1087 1101 1101	90 90 90	500 515 565
7325 367 2 7020 352 2 6758 337 2		(1) (1) (1)	5 2	2004 2012 2022	109 112 113	ω ω ω	2890 3097 3348	126 138 152	12 13 14	8948 8756 8756	564 550 550	59 57 57	21169 20886 20886	1167 1153 1153	106 104 104	730 965 850
10313 501 9816 481 9560 478	дд 8	(1) (1) (1)	39 37 36	1975 2260 2303	112 137 108	999	:255 467 566	17 34 35	1 # t 2	9276 9276 .0640	624 624 711	77 77 94	21821 21821 23071	1255 1255 1334	128 128 144	615 850 760
7378 385 2 7113 377 2 7113 377 2	85 77 77	000	တ ထ ထ	2095 2157 2157	75 97 97	<b>~</b> 6 6	2599 2395 2395	158 145 145	14 14 17	9223 8757 8472	620 577 563	86 79 76	21296 20424 20139	1240 1198 1183	137 130 127	670 210 415
6636 338 3 6636 338 3 6522 329 2	2 2 2 3 3 3 3 3 3 3 3 3 3 3 3 3 3 3 3 3	(,, (,, (,)	30 30 29	1616 1616 1417	102 102 90	1118	3101 2979 3292	180 173 193	21 20 22	6482 6604 6489	453 460 453	70 69	17836 17836 17722	1074 1074 1067	131 131 128	590 210 30
6636 338 6522 329 6522 329	დ თ თ		30 29 29	1417 1303 1303	8 8 8 8 8 8	N 00 00	3414 3292 3292	200 193 183	23 22 22	6256 6489 6378	440 453 447	69	17725 17607 17725	1070 1059 1070	127 128 127	410 830 220
k*: cal/cm²	1/cm <sup>2</sup>					· É	graus-dia	3-dia	(0 <sub>0</sub> )				: QH	dias		

Valores dos índices de desenvolvimento e produção da variedade  $\overline{\rm Vicoja}$  (período de plantio 24/11/75 a 12/01/76 Tabela 6.

			; ; •	) 	)	202	γ. Γ	7 7 7 1 1 1 1 1 1 1 1 1 1 1 1 1 1 1 1 1	)	ፓ ! }	1	1	•	7			
ZEOOGE	ESPA-	la.	fase		2a.	fase		3a.	fase		ца.	fase		5a.	fase		PROD.
	MENTO	.×. ∀.	H H	T	T <sub>K</sub> *	ŢŢ.	ID	Н Х <b>%</b>	H	I D	I,	H	ID	$\mathrm{I}_{\mathrm{k} \overset{\bullet}{k}}$	T. T.	ID	kg/ha
24/11/75	30 45 60	12052 12383 12052	601 616 601	49 50 49	2641 2309 2641	113 98 113	∞ √ ∞	4065 4065 4065	197 197 197	15 15 15	14708 14708 14708	700 700 700	55 55 55	33467 33467 33467	1612 1612 1612	127 127 127	1245 2470 2430
01/12/75	30 45 60	13812 13812 13812	685 685 685	0000	2410 2410 2410	121 121 121	თთთ	1984 1984 1984	0 0 0 0 0 0 0 2	7 7 7	11371 11371 11371	548 548 548	# # # # # #	29578 29578 29578	1447 1447 1447	106 106 106	1915 2590 3720
08/12/75	30 45 60	13202 13202 13202	651 651 651	t 1 t 1 t 1	2482 2482 2482	120 120 120	თთთ	3076 3076 3076	109 109 109	თთთ	13191 13191 13191	199 199 199	52 52 52	31953 31953 31953	1541 1541 1541	117	1405 2065 1840
15/12/75	30 45 60	11772 11772 11772	500 500 5000 8000	2 3 3 3 5 5 5 5 5 5 5 5 5 5 5 5 5 5 5 5	2187 2187 2187	106 106 106	∞ ∞ ∞	3791 3791 3791	158 158 158	11 13 13	12213 12213 12213	617 617 617	0 0 0 0 0 0	29964 29964 29964	1471 1471 1471	113 113 113	1320 2060 1880
22/12/75	30 45 60	10297 10297 10297	524 524 524 524	0 0 0 0 0 0	2720 2720 2720	115 115 115	თთთ	3342 3342 3342	136 136 136	122	11811 11811 11811	50 50 50 50 50 50 50 50 50 50 50 50 50 5	50 50 50	28172 28172 28172	1372 1372 1372	109 109 109	1520 1990 2310
29/12/75	30 45 60	10885 10643 10643	512 500 500	37 37 37	2536 2522 2522	92 93 93	∞ ∞ ∞	3105 3361 3361	236 248 248	1111	10363 10363 10363	538 538 538	t t t t t t	26890 26890 26890	1380 1380 1380	100	1315 1735 2335
05/01/76	30 45 60	11115 11115 11115	476 476 476	36 36 36 36	2274 2274 2274	113 113 113	თთთ	3871 3871 3871	180 180 180	23 13 13 13 13	10640 10640 10640	574 574 574 574	51 21 21	27901 27901 27901	1345 1345 1345	109 109 109	905 1390 2020
12/01/76	30 45 60	98111	0000	ω ω ω ო ო ო	1237 1237 1237	52 52 52	t t t	3767 3767 3767	184 184 184	888	10427 10571 10714	572 581 590	55 55 55	26632 26776 26919	1308 1317 1326	108	975 1285 1275
	T,	••	cal/cm <sup>2</sup>				 H	grau	graus-dia	(0)				I <sub>D</sub> : di	ias		

Valores dos Índices de desenvolvimento e produção da variedade <u>Viçoja</u> (período de plantio 19/01/76 a 08/03/76) Tabela 7.

				)	) }	. S. S.	ון הי	1	5	Ή .		, o -		; ;		•	
	ESPA-	la.	fase		2a.	fase	The specific date of the specific and	3a.	fase		4a.	fase	STERRE VIEW COMMENTAL OF	5a.	fase		PROD.
1300 ter	MENTO	$\mathtt{I}_{K^{\boldsymbol{k}}}$	Η Η	TD	$\mathtt{I}_{K^{\boldsymbol{*}}}$	ŢŢ	$\mathtt{I}_{\mathtt{D}}$	$\mathbb{I}_{K^{*}}$	I	$\mathrm{I}_{\mathrm{D}}$	$\mathtt{I}_{\mathrm{k}^{*}}$	T	ID	$\mathrm{I}_{\mathrm{k}^{*}}$	$\mathtt{I}_{\mathtt{T}}$	ID	kg/ha
19/01/76	30 45 60	9706 9706 9706	436 436 436	34 34 34	2309 2309 2309	114 114 114	α α α	3421 3421 3421	195 195 195	# # # # # # # # # # # # # # # # # # #	8568 8568 8568 8568	09h 09h	7 40 40 40	24005 24005 24005	1206 1206 1206	102 102 102	1075 1165 1290
26/01/76	30 45 60	10360 10360 10360	469 469 469	988	1983 1983 1983	9 9 7 7 9 7	ω ω ω	1942 1942 1942	107 107 107	α α α	8724 8724 9084	479 479 498	40 10 10 10	23010 23010 23371	1154 1154 1173	101 101 103	905 1065 1050
02/02/76	30 45 60	9841 9841 9841	7 7 7 7 7 7 7	34 4 4 4 4 4 4 4 4 4 4 4 4 4 4 4 4 4 4	2527 2527 2527	137 137 137	თთთ	2158 2158 2158	87 87 87	ω ω ω	7431 7674 7674	434 452 452	0 1 1 1 1 1 1 1 1 1 1 1 1 1 1 1 1 1 1 1	21958 22201 22201	1106 1124 1124	9 0 0 0 0 0	380 380 380
09/02/76	30 45 60	7801 7518 7020	392 380 352	29 26 26	1745 2029 2012	96 109 123		2804 3232 3319	126 152 152	12 14 14 17	9198 8683 9111	573 546 573	68 65 67	21550 21463 21463	1189	116 115 115	580 320 470
16/02/76	30 45 60	7912 7453 7215	403 376 352	29 27 26	1157 1392 2080	58 73 108	ന ന വ	3475 3557 3107	169 172 151	17 17 15	9364 9735 9735	629 645 645	74 76 76	21909 22138 22138	1260 1913 1913	125 126 126	315 270 280
23/02/76	30 45 60	7113 7635 7635	377 388 388	28 30 30	2157 2368 1635	97 124 86	119	2395 1663 2395	145 107 145	† 0 † 1	9223 9223 9223	620 620 620	8 8 8 80 9	20889 20889 20889	1240 1240 1240	137 137 137	365 100 90
01/03/76	30 45 60	6522 6849 6849	329 347 347	29 31 31	1417 1547 1547	900	ထတတ	3292 2636 2636	193 159 159	22 18 18	6378 6802 6688	1447 467 460	68 71 70	17611 17836 17722	1061 1074 1067	127 129 128	145
08/03/76	30 45	7698 7698 7698	387 387 387	######################################	1383 1383 1416	79 79 86	∞ ∞ ∞	2618 2618 2907	160 160 173	70 70 70 70	6256 6945 6132	### ### ### ###	67 73 60	17956 18645 18154	1067 1113 1081	127 133 122	
	* H		cal/cm <sup>2</sup>	7			H	gra	graus-dia	a ( <sup>o</sup> c)	$\hat{c}$			: <sup>Q</sup> I	dias		

Valores dos índices de desenvolvimento e produção da variedade  $\overline{\rm UFV-1}$  (período de plantio 24/11/75 a 12/01/76) Tabela 8.

					ļ		4										
7 ∆OOT	ESPA-	la.	fase	2)	2a.	fase	*hortonia Milliandarenhariaren	3a.	fase		4a.	fase		5a.	fase		PROD.
	MENTO	Ţ,	[-1 	L L	i,	H	H	H %	E-I	Q I	H <sub>X</sub>	ĻĻ	ΉΩ	Н *X	H	H	kg/ha
24/11/75	30 45 60	15764 15764 15764	769 769 769	19 19 19	2480 2480 2480	120 120 120	თთთ	3031 3031 3031	116 116 116	777	14538 14538 14538	753 753 753	19 19	35815 35815 35815	1759 1759 1759	142 142 142	2170 2730 3270
01/12/75	30 45 60	15797 15797 15797	782 782 782	56 56 56	1914 1914 1914	ო ო ო თ თ თ	~ ~ ~	2627 2627 2627 2627	0 0 0 5 5 5	∞ ∞ ∞	15176 15176 15176	787 787 787	†9 †9 †9	35515 35515 35515	1758 1758 1758	135 135 135	1460 2185 2750
08/12/75	30 45 60	16287 16287 16287	797 797 797	ω ω ω ω ω	2522 2522 2522 2522	თ თ თ თ თ თ	∞ ω ω	2449 2449 2449	117	თთთ	13209 13209 13209	ო ო ო თ თ თ დ დ დ	ω ω ω ω ω	34469 34469	1701 1701 1701	133 133 133	1550 1890 1830
15/12/75	30 45 60	13465 13465 13465	680 680 680	0000	2775 2775 2775	105 105 105	თთთ	2124 2124 2124 2124	103 103 103	ω ω ω	13216 13216 13216	100 100 100 100 100 100 100 100 100 100	57 57 57	31581 31581 31581	1583 1583 1583	123 123 123	1320 2060 1880
22/12/75	30 45 60	13377 13377 13377	650 650 650	2000	2984 2984 2984	138 138 138	444	3871 2474 3871	180 109 180	15 15 15	10330 11726 10330	556 627 556	0 t 0	30563 30562 30563	1525 1525 1525	123 123 123	1065 1460 2135
29/12/75	30 45 60	14676 14676 14676	671 671 671	50 50 50	2133 2133 2133	<del>ი</del> ი ი ი ი ი	ω ω ω	2599 2599 2599	127 127 127	91	10067 10067 10067	547 547 547	47 47 47	29476 29476 29476	1440 1440 1440	115 115 115	1290 1665 1310
05/01/76	30 60 80	15553 15553 15553	697 697 697	52 52 52	2280 2280 2280	113 113	ω ω ω	1939 1939 1939	112 112 112	ω ω ω	8406 8406 8048	######################################	47 47 47	28822 28822 28822	1447 1447 1447	115	1535 1265 1645
12/01/76	30 4.50 0.00	16205 16205 16205	736 736 736	0 0 0 0 0 0	1828 1828 1825	1113	ω ω ω	1841 1841 1841	# # # 0000	α α α	6900 7043 7180	373 382 403	38 47 47	26776 26919 27053	1318 1327 1347	109	1205 1590 2125
	: * <sup>X</sup> T	cal/cm <sup>2</sup>		And the state of t			grai	graus-dia	(၁ <sub>၀</sub> )			Q <sub>I</sub>		dias			the control of the co

Valores dos Índices de desenvolvimento e produção da variedade UFV-l (período de plantio 19/01/76 a 08/03/76 Tabela 9.

			Varı	e D	ade <u>Ur</u>	T /	(per	1,000	de P	o Lant	70	770/8T	۱ / ۵	a 98/0	U3 <b>/</b> /b		
FPOCA	ESPA-	la.	fase	۵۱	2a.	fase		За.	fase		4а.	fase		5a.	fase		PROD.
7	MENTO	水*	Ţ,	A H	ļ,	H	T D	ıγ.	T	T <sub>D</sub>	I <sub>k</sub> *	$T_{\mathbf{J}}$	ID	T X*	ΤŢ	ID	kg/ha
19/01/76	30 45 60	12015 12015 12015	550 550 550	t 5 t 5 t 5	1983 1983 1983	111	ω ω ω	1942 1942 1942	107 107 107	ωωω	9427 9427 9427	522 522 522 522	55 55 55	25369 25369 25369	1292 1292 1292	113 113 113	1215 1590 725
26/01/76	30 45 60	12060 12060 12060	50 8 50 8 50 8	2 t t t	2029 2029 2029 2029	109	α α α	3029 3029 3029	133 133 133	H H H	7771 7697 7697	493 486 486	50 50 50 50 50 50 50 50 50 50 50 50 50 5	24890 24816 24816	1310 1304 1304	118 117 117	920 955 1045
02/02/76	30 45 60	10339 10339 10339	475 475 475 475	36 36 36	2027 2027 2027	109 109 109	ထထထ	2093 2093 2093	8 8 8 5 5 5	∞ ω ω	9275 9382 9382	575 580 580	<b>63</b> 8 8 8 8 8	23735 23842 23842	1245 1251 1251	114 115 115	405 500 720
09/02/76	30 45 60	9239 9032 8781	476 464 450	33 33 4 33 4 33	1157 1855 1841	58 87 94	ഗയയ	3475 3198 3462	169 163 169	17 16 17	8427 8119 8119	533 533 533	8 9 9 9 9 9	22299 22205 22205	1257 1247 1247	125 124 124	710 520 550
16/02/76	30 45 60	10574 9295 9560	515 471 478	40 35 34	1714 1953 1688	113 84 76	ထထတ	1976 2599 2599	127 158 158	12 15 15	8603 9122 9122	573 610 610	87 85 85	22868 22970 22970	1329 1324 1324	147 143 143	490 275 660
23/02/76	30 45 60	9895 9681 9681	503 493 493	330	467 711 711	34 73 73	⇒ ∞ ∞	1760 1931 1931	110 112 112	01 11 11	8459 7610 7610	566 517 517	80 72 72	20583 19935 19935	1214 1198 1197	134 130 130	480 180 270
01/03/76	30 45 60	7945 7416 7698	402 373 387	35 33 34	1365 1581 1559	9 9 9 9	8 O G	2923 2984 2808	179 180 170	21 21 20	6062 6187 6306	4.67 4.88 500	70 72 73	18297 18170 18372	1124 1135 1148	134 136 136	50 130 50
08/03/76	30 45 60	8391 8168 8168	427 414 414	39 37 37	1429 1430 1283	77 78 68	ω σ, ω	2565 2728 2875	148 157 167	70 70 70	6963 6836 6836	# # # # # # # # # # # # # # # # # # #	72 71 71	19350 19163 19163	1149	137 136 136	475 675 375
	· * * * * * * * * * * * * * * * * * * *	cal/cm <sup>2</sup>	And deposits the same of the s			TT:	graı	aus-dia	(0 <sub>0</sub> )				: <sub>4</sub>	dias			

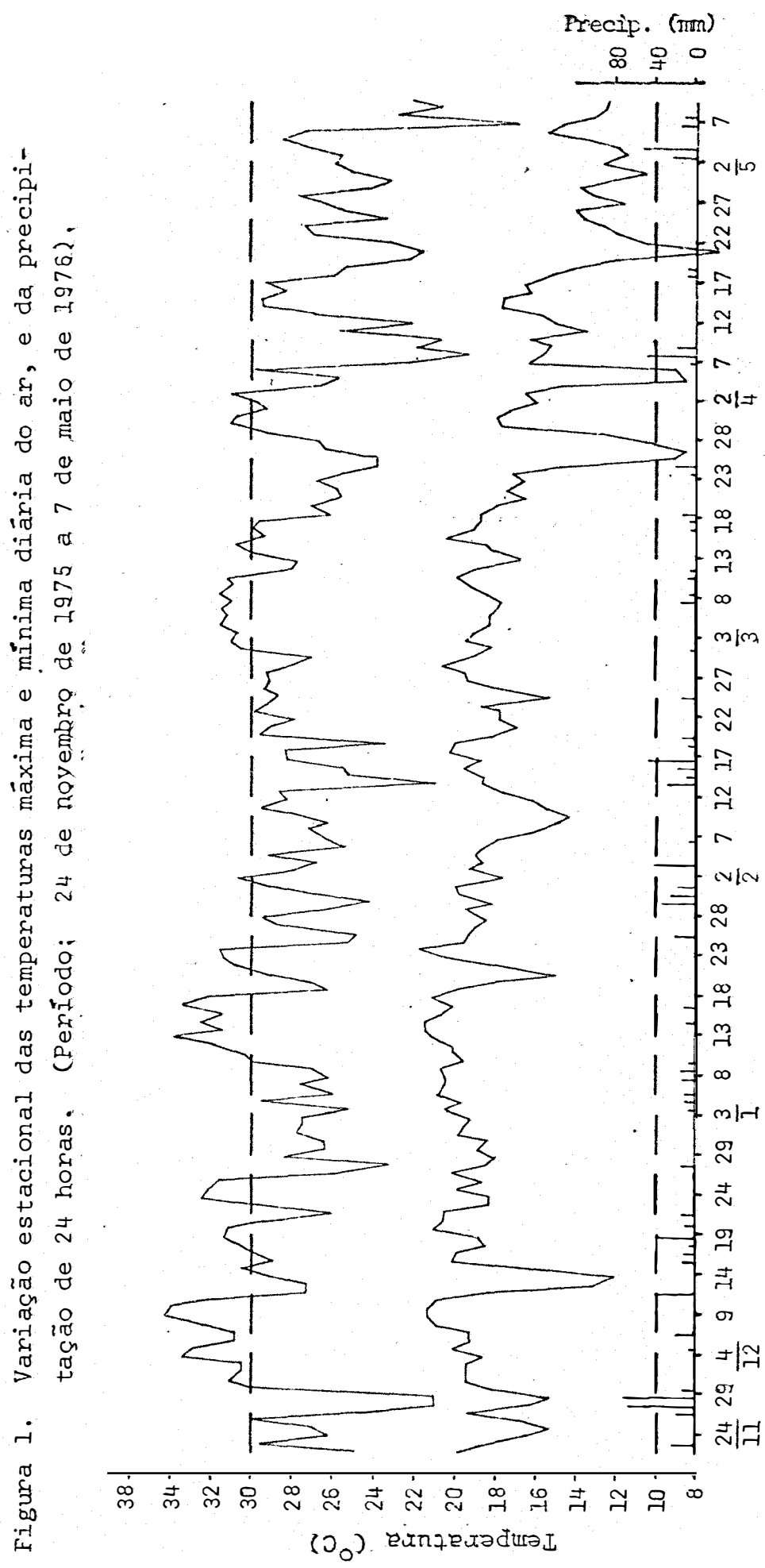


Figura 1.

Tabela 10. Valores obtidos para os coeficientes da equação de regressão e coeficientes de correlação considerando os indices ID, IT e Ik: respectivamente, para a variedade Parana.

	12 11101	ce reference a		- Prints
ESPAÇ <u>A</u> MENTO	MÉTODO DE ESTIMATIVA	a	р	(R)
	Yl	-2573,4877	106,4212	0,75
E <sub>30 x 5</sub>	Y <sub>2</sub>	4145,0592	-27,6584	-0,54
	Yı	-2395,6864	105,9337	0,73
E <sub>45 x 5</sub>	Y <sub>2</sub>	4628,8240	-30,7426	-0,58
<del>ان</del> :	Yı	-3579,4201	143,5901	0,76
E <sub>60 x 5</sub>	Y <sub>2</sub>	5934,3398	-41,5968	-0,60
terneretinen, sistem sateriaria, (iin riv, sali sides disserbe ilmin vice mon	erite kina da maka aka da mana da da mana da mara da mana da m	andere in nord de verden de verden de en verden de	ra daka sa malaya da Ciraga kanan ayana (ra ra da 17 kanan an an 1860 ka 1860 ka 1860 ka 1860 ka 1860 ka 1860 k	
n	Yl	-2157,3451	7,1502	0,82
E <sub>30 x 5</sub>	Y <sub>2</sub>	-3461,6428	3,8999	0,56
T	Yl	-2340,7797	7,8727	0,88
E <sub>45 x 5</sub>	Y 2	-4544,3154	4,9300	0,70
E <sub>60 x 5</sub>	Yl	-3422,9462	10,4988	0,90
<sup>E</sup> 60 x 5	Y 2	-6164,3966	6,4111	0,69
	. · · · · · · · · · · · · · · · · · · ·			
T	Yı	-2015,9317	0,3301	Ò,80
E <sub>30 x 5</sub>	Y <sub>2</sub>	-2628,5318	0,1637	0,76
ד	Yl	-2155,3457	0,3604	0,85
E <sub>45 x 5</sub>	Y <sub>2</sub>	-3172,8409	0,1935	0,88
Tr	Yl	-2716,1483	0,4202	0,72
E <sub>60 x 5</sub>	Y <sub>2</sub>	-3437,7170	0,2059	0,68

Tabela 11. Valores obtidos para os coeficientes da equação de regressão e coeficientes de correlação considerando os indices ID, IT e Ik\* respectivamente, para a variedade Davis.

ESPAÇ <u>A</u> MENTO	MÉTODO DE ESTIMATIVA	a	р	(R)
r	Yı	-254,2907	38,8505	0,36
E <sub>30 x 5</sub>	Y <sub>2</sub>	3825,9868	-25,0004	-0,52
T	Yl	-1934,2264	93,9187	0,70
E <sub>45 × 5</sub>	¥2	4940,3998	-32,6951	-0,55
r	Yl	-3470,3799	142,3398	0,79
E <sub>60 x 5</sub>	Y <sub>2</sub>	6167,8238	-42,3057	-0,52
				394-600
T.	Yl	-694,3385	3,8458	0,58
E <sub>30 x 5</sub>	Y <sub>2</sub>	-1808,7573	2,3698	0,50
r	Yl	-1845,8697	6,8711	0,82
E <sub>45 x 5</sub>	Y <sub>2</sub>	-3864,8859	4,2565	0,73
E <sub>60 x 5</sub>	Yl	-3200,5561	10,1275	0,90
60 x 5	Y <sub>2</sub>	-6443,8827	6,4893	0,82
r	Yl	-679,5295	0,1837	0,58
E <sub>30 x 5</sub>	Y <sub>2</sub>	-1226,6508	0,0971	0,63
r	Yl	-1680,7987	0,3141	0,80
E <sub>45 x 5</sub>	Y <sub>2</sub>	-2486,4198	0,1608	0,84
****	Yl	-3024,8044	0,4699	0,88
	Y <sub>2</sub>	-4202,6486	0,2394	0,93

Tabela 12. Valores obtidos para os coeficientes da equação de regressão e coeficientes de correlação considerando os indices I<sub>D</sub>, I<sub>T</sub> e I<sub>k</sub>\* respectivamente, para a variedade Viçoja.

ESPAÇ <u>A</u> MENTO	MÉTODO DE ESTIMATIVA	a	b	(R)
Г.	Yl	~721,2719	47,3786	0,69
E <sub>30 x 5</sub>	Y <sub>2</sub>	-523,4836	15,7032	0,33
г	Yl	-2225,4758	96,9959	0,88
E <sub>45 x 5</sub>	Y <sub>2</sub>	-3889,9640	51,2454	0,67
T.	Yl	-2311,8038	104,2173	0,69
E <sub>60 x 5</sub>	Y <sub>2</sub>	-2088,3907	36,4952	0,35
г	Yl	-783,6361	3,6563	0,78
E <sub>30 x 5</sub>	Y2	-1175,8888	1,7344	0,68
г	Yl	-1927,5640	6,6923	0,88
E <sub>60 × 5</sub>	Y 2	-3406,2075	3,7349	0,91
E <sub>60 x 5</sub>	Yl	-2225,7885	7,6268	0,73
<sup>L</sup> 60 x 5	Y2	-3475,4337	3,9356	0,70
	Yl	-1128,4890	0,2042	0,68
E <sub>30 x 5</sub>	Y <sub>2</sub>	-832,8538	0,0728	0,65
г	Yl	-2629,4660	0,3801	0,79
E <sub>45 x 5</sub>	Y <sub>2</sub>	-2773,9350	0,1606	0,89
r	Yl	<del>-</del> 3370,7145	0,4638	0,70
E <sub>60 x 5</sub>	Y <sub>2</sub>	-2714,7715	0,1658	0,67

Tabela 13. Valores obtidos para os coeficientes da equação de regressão e coeficientes de correlação considerando os indices ID, IT e Ik: respectivamente, para a variedade UFV-1.

	Y <sub>2</sub> - indi	ce referente a	a ba, fase	
ESPAÇ <u>A</u> MENTO	MÉTODO DE ESTIMATIVA	a	Ъ	(R)
r	Yl	-1261,6035	50,8003	0,90
E <sub>30 x 5</sub>	Y <sub>2</sub>	310,1173	6,5900	0,14
	Yl	-2283,8969	77,1465	0,88
E <sub>45 x 5</sub>	Y <sub>2</sub>	423,6760	7,4287	0,10
	Yı	-2760,8994	90,3908	0,90
E <sub>60 x 5</sub>	Y <sub>2</sub>	-1221,7155	21,8374	0,26
	Yд	-1126,1454	3,5761	0,87
E <sub>30 × 5</sub>	$\sum_{m=0}^{\infty} \sum_{i=1}^{m} \frac{1}{m^{2}} e^{-im^{2} m^{2} m^{2}} e^{-im^{2} m^{2}} e^{-im^{2}} e^{-im^{2}} e^{-im^{2}} e^{-$	645,7263	0,3027	0,36
₽	Yl	-2174,9773	5,5842	0,88
E <sub>45 x 5</sub>	Y 2	380,0588	0,6051	0,46
E <sub>60 x 5</sub>	Yl	-2625,6143	6,5308	0,88
<sup>L</sup> 60 x 5	Y <sub>2</sub>	151,9348	0,8394	0,55
	Yl	-978,4236	0,1602	0,85
E <sub>30 x 5</sub>	Y 2	-1245,0282	0,0846	0,87
r	Yl	-1862,3828	0',2440	0,84
E <sub>45 x 5</sub>	Y <sub>2</sub>	-2570,3012	0,1396	0,92
Г	Yı	-2200,3408	0,2808	0,83
E <sub>60 x 5</sub>		-2972,4010	0,1592	0,91

Figura 2. Curva da função produtividade x indice de desenvolvimento ( $I_{k}$  e  $I_{T}$ ) para a variedade Paraná em três espaçamentos: 30 x 5 ( $E_{30}$ ), 45 x  $\overline{5}$  ( $E_{45}$ ) e 60 x 5 ( $E_{60}$ ).

-----: indice referente a la. fase

----: indice referente a 5a. fase

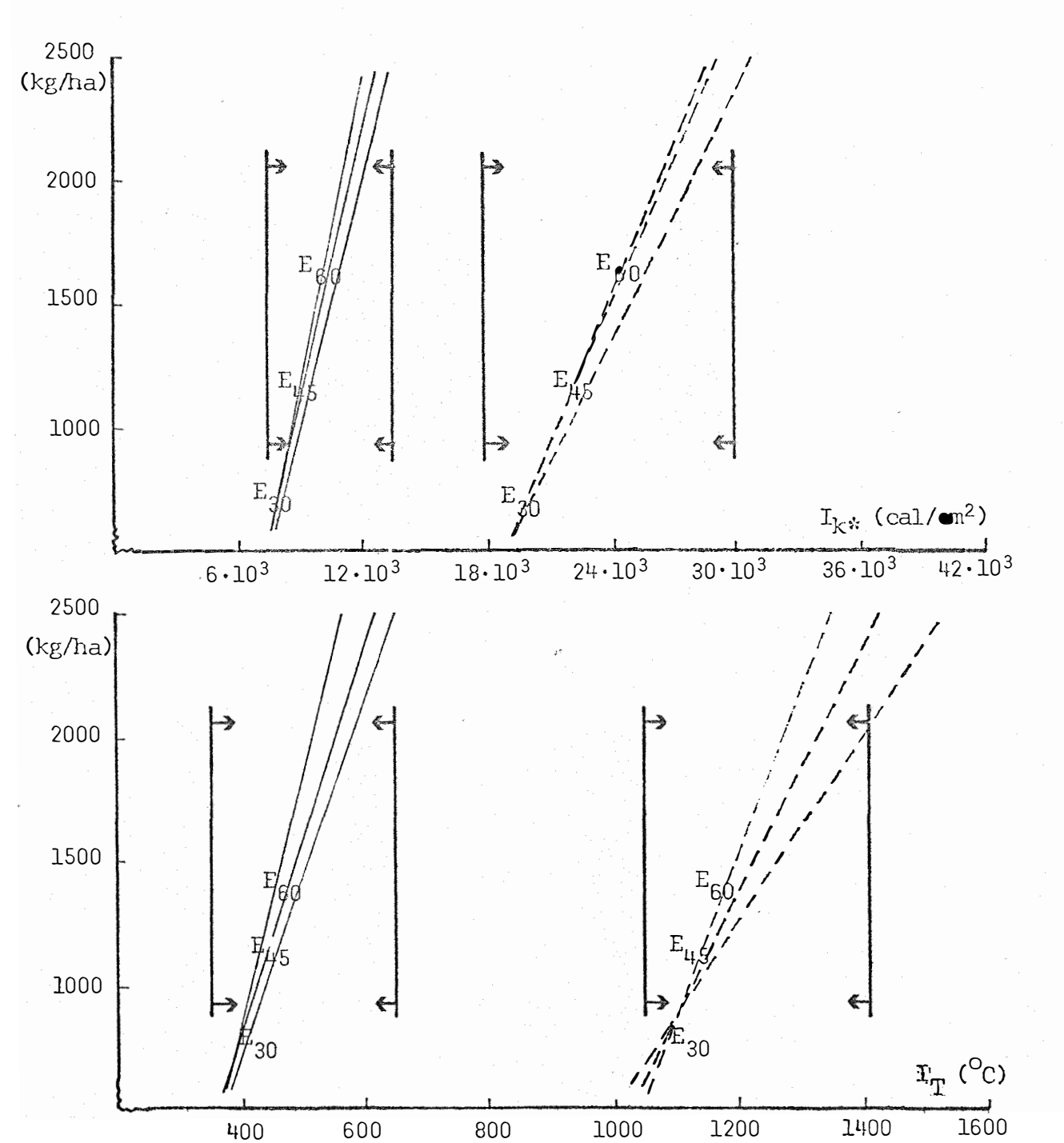


Figura 3. Curva da função produtividade x indice de desenvolvimento (Ik\* e IT) para a variedade Davis em três espaçamentos: 30 x 5 (E30), 45 x 5 (E45) e 60 x 5 (E60).

\_\_\_\_\_: indice referente a la. fase

---: indice referente a 5a. fase

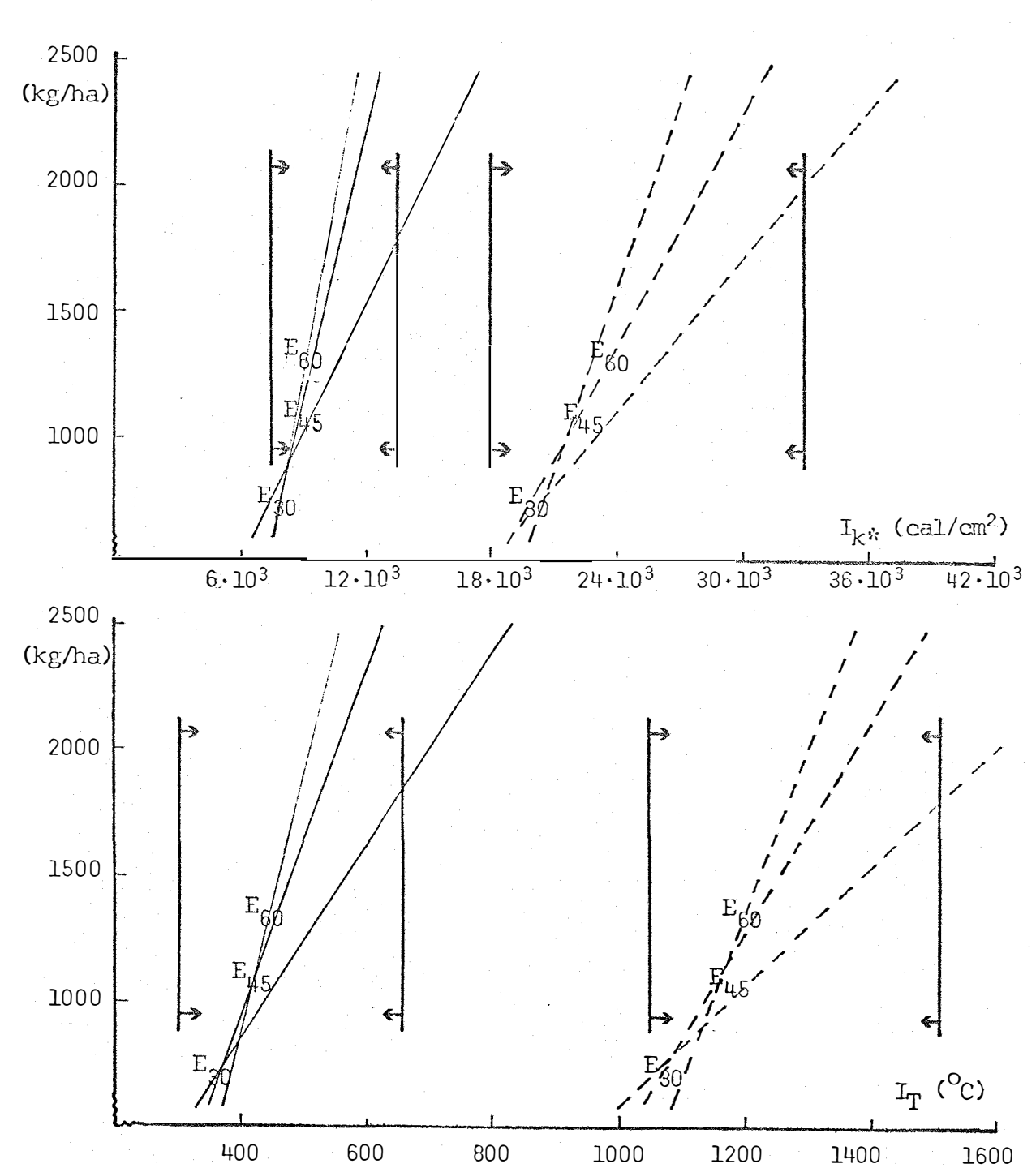


Figura 4. Curva da função produtividade x indice de desenvolvimento ( $I_{k*}$  e  $I_{T}$ ) para a variedade Viçoja em três espaçamentos:  $30 \times 5 \text{ (E}_{30})$ ,  $45 \times 5 \text{ (E}_{45})$  e  $60 \times 5 \text{ (E}_{60})$ .

----: indice referente a la. fase

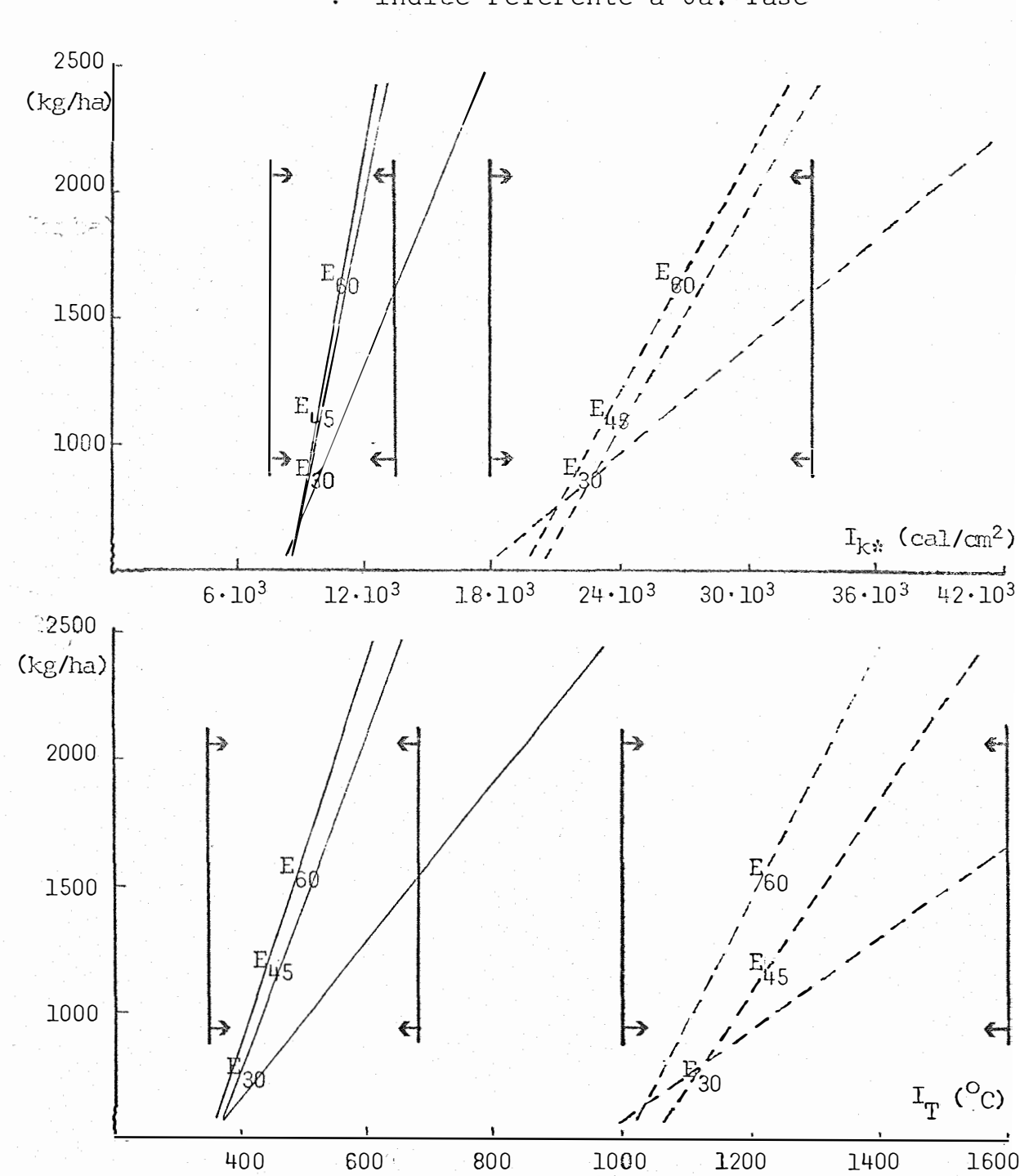
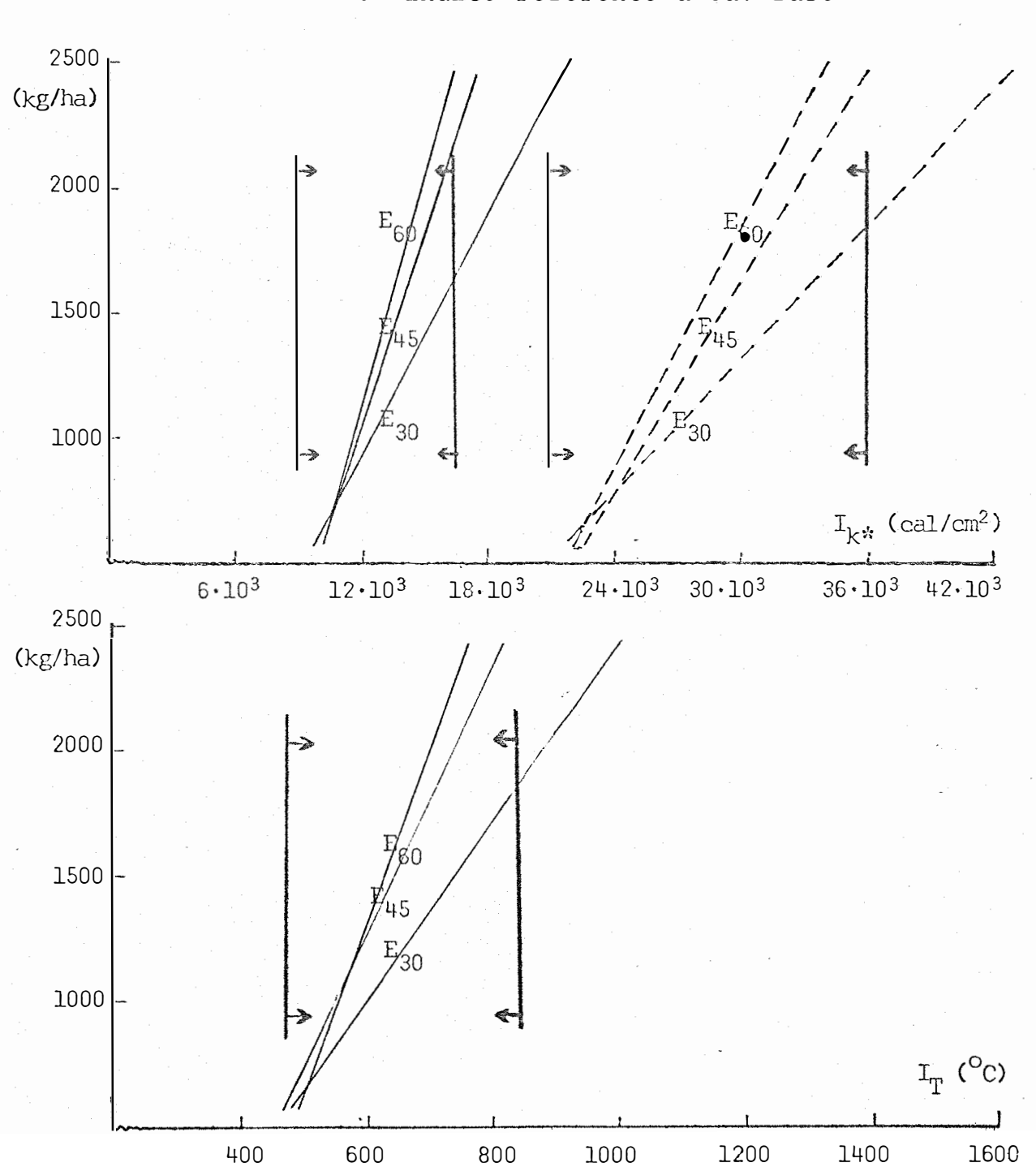


Figura 5. Curva da função produtividade x îndice de desenvolvimento ( $I_{k}$  e  $I_{T}$ ) para a variedade <u>UFV-1</u> em três espaçamentos:  $30 \times 5$  ( $E_{30}$ ),  $45 \times \overline{5}$  ( $E_{45}$ ) e  $60 \times 5$  ( $E_{60}$ ).



#### 5. DISCUSSÃO DOS RESULTADOS

A sequência adotada na discussão dos resultados tem por objetivo o estudo das proposições apresentadas na Introdução.

É extensa a bibliografia que critica os métodos de unidades de calor considerando, quase sempre, dois fatores limitantes para estes métodos: a temperatura base e a umidade de solo, onde o primeiro é característico para cada fase e o segundo é incontrolável em condições de campo. O autor, na figura l, assinala as temperaturas base dentro da variação de temperatura máxima e mínima diárias. Nesta figura observase, com facilidade, que as temperaturas base não são fontes de erro no cálculo do índice de desenvolvimento  $I_T$  devido ao fato de na maioria dos dias a temperatura máxima e mínima estar no intervalo 10 e 30°C. Na mesma figura a distribuição de precipitação mostra que, durante os ensaios, não ocorreram estiagens prolongadas que pudessem afetar o desenvolvimento das plantas.

A discussão destes resultados tem a finalidade de esclarecer sobre as condições de desenvolvimento do "método" que deve ser simplificado ao ponto de se considerar apenas variável de fácil medida e corrente em qualquer ponto meteorológico. Um exemplo é apresentado por BROWN e CHAPMAN (1960) que desenvolveram equações para precipitações ótima e abaixo.

desta ótima sem a introdução do fator disponibilidade hídrica.

0 modelo para cálculo de graus-dia foi escolhido com base na bibliografia pertinente que cita  $10 \ e \ 30^{\circ} C$  como as temperaturas bases para a soja.

Quanto ao modelo de indice de desenvolvimento  $I_{k}$  foi aplicada uma equação que considera um albedo de 0,34 para campos cultivados com soja. Este albedo não difere dos apresentados por BLAD e BAKER (1972) para uma cultura de soja que aos 50 dias após o plantio, num espaçamento de 60 x 5cm já apresenta 100% de cobertura do solo.

0 índice de desenvolvimento  $I_D$  é o mais usado pelos agricultores que, sem uma quantificação exata, concluem que a planta que permanece mais tempo no campo deve produzir mais. Este raciocínio seria totalmente correto, se a planta estivesse programada para apenas sintetizar e quando as condições fossem adversas o material sintetizado seria "protegido". Este índice, apesar de falho, está sendo e será usado até que modelos mais precisos venham substituí-lo.

Pelos resultados encontrados e discutidos o au tor concorda com a boa aproximação das condições de campo, quam do se aplicam os dados observados em estações meteorológicas, nas estimativas de comportamento de culturas. Estas estimativas devem partir de um embasamento teórico-prático do comportamento da cultura face a algumas variações do tempo. Para a soja BROWN (1960) e BROWN e CHAPMAN (1960) apresentaram modelos de crescimento e EGLI e LEGGETT (1973) modelos de regressão entre produtividade biológica, econômica e indices de desenvolvimento. O autor identifica as fases emergência-início de floração e emergência-maturação fisiológica, como as que melhor se ajustam para a identificação de cultivares devido ao comportamento dos três indices de desenvolvimento para todas as variedades, espaçamentos e épocas. Três fatores podem ser responsáveis por este ajuste:

- a) as temperaturas base escolhidas são realmente as ideais para estas fases;
- b) os erros na identificação de estágios de desenvol vimento não aconteceram para os limites destas fa ses;
- c) serem estas as fases que melhor identificam a variedade.

A primeira hipótese já foi discutida. A segun da pode ser verdadeira e está associada às dificuldades de se fazer observações fenológicas neste tipo de cultura em condições de campo. A veracidade desta hipótese pode ser observada nos quadros que contém os índices de desenvolvimento por va riedade e por época. Quando analisados com detalhes, a varia ção encontrada em algumas fases é bastante grande. Para a pri meira e quinta fases esta variação é menor e tem uma tendência que, com base na bibliografia, poderia ser considerada lógica. Os indices são altos em torno da época "tradicional" de plantio e decrescentes para plantios precoces e tardios. ceira hipótese é aceita pelo autor e nela estão contidas outras duas hipóteses sendo vantajosa pela facilidade em se ca racterizar estas fases e, principalmente, porque a primeira fa se permite uma previsão bastante antecipada do comportamento da planta em termos de produção.

Os dois índices (I<sub>T</sub> e I<sub>K</sub>\*) na la. e 5a. fases e a produção econômica apresentaram uma mesma tendência, como se pode observar nas tabelas 2 a 9, daí as equações de regressão apresentarem alta correlação que são mostradas nas tabelas de 10 a 13 e nas figuras 2 a 5. Estes resultados específicos para fases confirmam as observações de BROWN e CHAPMAN (1960) de que as relações entre o crescimento e os índices de desenvolvimento são diferentes em cada fase e que a regressão entre a duração da fase em dias x material reprodutivo sintetizado é li-

near (EGLI e LEGGETT, 1973).

Analisando as equações de regressão através dos coeficientes de correlação, e os resultados estatísticos aplicados aos dados de produção observa-se que as variedades se comportaram de formas diferentes dentro de um mesmo espaçamento e que esta diferença se acentua com o aumento da distância entre plantas dentro da mesma época de plantio. Este comportamento é marcado pelo coeficiente angular da equação de regressão e a variedade mais sensível aos elementos estudados é a Paraná. Neste caso uma pequena variação em qualquer índices de desenvolvimento adotados afeta, de forma acentuada, a produção. A sensibilidade da soja ao fotoperíodo determina um menor desenvolvimento vegetativo até a época de floração, quando for plantada fora da época "tradicional". Aquela sensibilidade contribui para um florescimento de plantas pouco desenvolvidas e que se comportam como indivíduos como comunidade, o que as torna mais suscetíveis às variações Este raciocinio fundamenta-se também no fato de que as variedades se comportam de forma diferente numa mesma época, diferença que não é observada em torno da época "tradicional" quando todas as variedades têm desenvolvimento suficiente para formar uma comunidade.

Com base na grande variação dos coeficientes das equações de regressão e nos resultados dos testes estatisticos o autor considera perigoso o uso de uma equação única para todos os espaçamentos. As equações devem ser desenvolvidas para variedades, espaçamentos e indices de desenvolvimento: para as variedades a fim de que haja representação das caracteristicas genéticas ligadas aos hábitos de crescimento, de porte e de sensibilidade as variações do meio; para os espaçamentos porque o nível de comunidade é atingido em populações diferentes em cada variedade e o elemento comunidade é bastante importante para a análise da influência do meio e finalmente para os indices de desenvolvimento porque, pelos resultados

apresentados, vemos que uma mesma produção correlaciona-se de forma diferente, dependendo do índice de desenvolvimento considerado.

#### 6. CONCLUSÕES

Considerando-se os dados apresentados e discutidos o autor conclui que:

- 1) É possível obter-se boa aproximação nas estimativas de comportamento da cultura de soja em condições de campo a partir de dados obtidos em postos agrometeorológicos e fazendo uso das equações desenvolvidas;
- 2) O critério usado na caracterização de estágios mostrou ser falho, precisando ser melhorado, pois é grande o efei to devido à subjetividade em algumas fases;
- 3) O valor dos índices na fase emergência-início de floração mostrou ser um indicativo que caracteriza de forma razoa vel a produção da variedade;
- 4) O índice de desenvolvimento  $I_{\rm D}$  nas fases emergência-início de floração se ajusta de forma razoável para a estimativa de produção em todas variedades e espaçamentos;
- 5) O índice de desenvolvimento  $I_{\widehat{T}}$  nas fases emergência-início de floração e emergência-maturação fisiológica se ajus ta de forma aceitável para a estimativa de produção em todas

variedades e espaçamentos;

- 6) O índice de desenvolvimento  $I_{k}$ , nas fases emergência-início de floração e emergência-maturação fisiológica é o que melhor se ajusta para a estimativa de produção para todas variedades e espaçamentos;
- 7) O melhor índice para estimativa de produção é o de graus-dia na fase emergência-início de floração.
- 8) Para a variedade <u>UFV-l</u> as equações com maior coeficiente de correlação são aquelas em que participa o índice de desenvolvimento I<sub>k\*</sub> referente a fase emergência-maturação fisiológica e são as seguintes:

```
no espaçamento 30 x 5cm Y = -1245,02 + 0,08 I_{k*} (0,87)
no espaçamento 45 x 5cm Y = -2570,30 + 0,14 I_{k*} (0,92)
no espaçamento 60 x 5cm Y = -2972,40 + 0,16 I_{k*} (0,91)
```

onde Y representa a produção por hectare e o valor entre par $\hat{\mathbf{e}}_{\underline{n}}$  teses o coeficiente de correlação.

9) Para a variedade  $\underline{\text{Viçoja}}$  as equações com maior coeficiente de correlação envolvem o índice de desenvolvimento  $I_{\text{T}}$  na fase emergência-início de floração e são as seguintes:

```
no espaçamento 30 \times 5 \text{cm} Y = - 783,64 + 3,66 I_T (0,78)
no espaçamento 45 \times 5 \text{cm} Y = -1927,56 + 6,69 I_T (0,88)
no espaçamento 60 \times 5 \text{cm} Y = -2225,79 + 7,63 I_T (0,74)
```

10) Para a variedade <u>Davis</u> as equações com maior coeficiente de correlação envolvem o índice de desenvolvimento I<sub>k</sub>\* na fase emergência-maturação fisiológica e são as seguintes:

no espaçamento  $30 \times 5 \text{ cm}$  Y = -1226,65 + 0,10  $I_{k*}$  (0,63) no espaçamento  $45 \times 5 \text{ cm}$  Y = -2486,42 + 0,16  $I_{k*}$  (0,84) no espaçamento  $60 \times 5 \text{ cm}$  Y = -4202,65 + 0,24  $I_{k*}$  (0,93)

ll) Para a variedade <u>Paraná</u> as equações com maior coeficiente de correlação envolvem o indice de desenvolvimento  $I_T$  referente a fase emergência-inicio de floração e são as seguintes:

no espaçamento 30 x 5cm Y = -2157,34 + 7,15  $I_T$  (0,82) no espaçamento 45 x 5cm Y = -2340,78 + 7,87  $I_T$  (0,88) no espaçamento 60 x 5cm Y = -3422,95 + 10,5  $I_T^{\infty}$  (0,90)

#### 7. RESUMO

O presente trabalho estuda o comportamento de quatro variedades de soja (Glycine max (L.) Merril) em três po pulações identificadas por: Paraná (30 x 5), (45 x 5) e (60 x 5); Davis (30 x 5), (45 x 5) e (60 x 5); Viçoja (30 x 5), (45 x 5) e (60 x 5) e (60 x 5) e (60 x 5), sujeitas às variações de alguns elementos de clima, em dezesseis épocas de plantio.

Os ensaios foram montados na Estação Experimental da Fundação Instituto Agronômico do Paraná localizada numa latitude de 23º23'S, longitude de 51º11'W e altitude de 566 me tros no período 24/11/75 a 08/03/76. Foram estudadas as correlações entre os valores de balanço de radiação de onda curta acumulado, graus-dia acumulados e duração de cada fase do desenvolvimento da planta e produção de graus das quatro varieda des nas três populações. Os valores acumulados em cada fase são definidos como índices de desenvolvimento.

Foram obtidos valores diferentes para um mesmo indice com as dezesseis épocas de plantio e sua correlação com a produção foi analisada procurando basicamente: a) identificar a fase na qual os indices melhor se correlacionam com a produção; b) identificar o indice que melhor se correlaciona com a produção e c) desenvolver uma equação que permita a estimativa da produção de grãos de soja, a partir de um indice de

#### desenvolvimento.

Com base nos resultados encontrados o autor con clui que: a diferença de sensibilidade existente entre a variedade nas diversas populações não permite o estabelecimento de uma equação única representativa da produção como função de indice de desenvolvimento; as fases em que os limites melhor se correlacionam com a produção são emergência-início de flora ção e emergência-maturação fisiológica; o indice de desenvolvimento que melhor se ajusta para equações de estimativa é o que envolve balanço de radiação de onda curta.

#### 8. SUMMARY

A study of four soybean varieties (Glycine max (L.) Merril), planted under three densities (30 x 5cm), (45 x 5cm) and (60 x 5cm) was made, considering 16 planting dates in the period from 24/11/75 to 08/03/76.

The experimental field was located in the Estação Experimental da Fundação Instituto Agronômico do Paraná, latitude 23<sup>0</sup>23'S, longitude 51<sup>0</sup>11'W and altitude 566 meters.

The author established a regression equation relating the duration of the phenological phases with the accumulated short wave net radiation and degree-day accumulation. The grain production was observed for the four varieties and three planting densities. Accumulated values for each climatic element during the phenological phases were considered as development indices.

Analysing the different index values for the planting dates and the correlation with production data, the author tried:

- a) to identify the phenological phase in which the indices showed better correlation with production;
  - b) to identify the index that showed better correlation

with grain production; and

c) to develop an equation which will permit to estimate the grain production from one of the development indices.

The results of this study showed that the sensibility difference among varieties, planted in three population densities, do not permit the establishment of one equation that represents the production or a function of development index only. It was observed that the best correlation was obtained in the emergence-flowering phase and emergence-maturation phase.

Finally, the author showed that the short wave net radiation was the best development index to estimate grain production.

#### 9. BIBLIOGRAFIA CITADA

- ARON, R.H., 1975. A method for estimating the number of hours below a selected temperature threshold. J. Appl. Meteorol. 14(8):1415-1418.
- BAIER, W. e G.W.ROBERTSON, 1968. The performance of soil moisture estimates as compared with the direct use of climatological data for estimating crop yields. Agric. Meteorol. 5:17-31.
- BASKERVILLE, G.L. e P.EMIN, 1969. Rapid estimation of heat accumulation from maximum and minimum temperatures. Ecology 50(3):514-517.
- BASNET, B., E.L.MADER e C.D.NICKELL, 1974. Influence of altitude on seed yield and other characters of soybeans differing in maturity in skkim (Himaloyan Kingdom). Agron. J. 66:531-533.
  - BERLATO, M.A. e V.R.SUTILI, 1976. Ecologia de Milho. II. De terminação das temperaturas bases dos sub-períodos emergência-pendoamento e emergência-espigamento de 3 cultivares de milho (Zea mays, L.). XXI Reunião Técnica de Milho e Sorgo. Porto Alegre, 20-23 julho, 1976.

- BLAD, B.L. e D.G.BAKER, 1972. Reflected radiation from a soybean crop. Agron. J. 64:277-280.
- BROWN, D.M., 1960. Soybean ecology. I. Development temperature relationships from controlled environment studies. Agron. J. 52(9):493-496.
- BROWN, D.M., 1976. Heat units for corn in southern Ontario.

  Ministry of Agriculture and Food. Order no 75 077.
- BROWN, D.M. e L.J.CHAPMAN, 1960. Soybean ecology. II.

  Development temperature moisture relationships from studies. Agron. J. 52(9):496-499.
- DORNHOFF, G.M. e R.M.SHIBLES, 1970. Varietal differences in net photosynthesis of soybeans leaves. Crop. Sci. 10:42-45.
- EGLI, D.B. e J.E.LEGGETT, 1973. Dry matter accumulation patterns in determinate and indeterminate soybeans. Crop. Sci 13: 220-222.
- FRANQUIN, P., 1968. Determination of the climatic equations of development in short-day cultivated species. Agronomic significance Agroclimatological methods. Proceedings of the Reading Symposium/Methodes Agroclimatologiques. Actes du Colloque de Reading. Paris, UNESCO. p. 321-330.
- GARNER, W.W. e H.A.ALLARD, 192 ●. Effect of the relative length of day and night and other factors of the environment on growth and reproduction in plants. J. Agric. Res. 18:553-606.
- HOLMES, R.M. e G.W.ROBERTSON, 1959. Heat units and crop growth. Ottawa (Canadá). Department of Agriculture. Publicação nº 1.042. p. 32.
  - HOWELL, R.W. e L.C.JACKSON, 1953. Physiological factors affecting composition of soybens. I. Correlation of temperatures during certain portions of the pod filling stage

- with oil percentage in mature beans. Agron. J. 45(10):526-527.
- HUXLEY, P.A., 1973. Incoming solar radiation and degree-hours of temperature near Kampala, Uganda. Agric. Meteorol. <a href="11">11:</a>
  437-443.
- JOHNSON, B.J. e H.B.HARRIS, 1969. Influence of plant population on yield and other characteristics of soybeans. Agro. J. 59:447-450.
- KUROIWA, S., 1968. Theoretical evaluation of dry-matter production of a crop canopy under insolation and temperature climate: a summary. Agroclimatological methods. Proceedings of the Reading Symposium/Methodes Agroclimatologiques. Actes du Colloque de Reading, p. 231-332. Paris, UNESCO.
- LINACRE, E.T., 1964. A note on a feature of leaf and air temperature. Agric. Met. 1:66-72.
- MAJOR, D.J., D.R.JOHNSON e V.D.LUEDDERS, 1975b. Evaluation of eleven thermal unit methods for predicting soybean development. Crop. Sci. 15:172-174.
- MAJOR, D.J., D.R.JOHNSON, J.W.TANNER e I.C.ANDERSON, 1975.

  Effects of daylength and temperature of soybean development.

  Crop. Sci. 15:174-179.
- MOTA, F.S., 1976. Estimativas da radiação líquida em Pelotas, Rio Grande do Sul. Ciência e Cultura 28(10):1174-1178.
- MURATA, Y., 1975. Estimation and simulation of rice yield from climatic factors. Agric. Meteorol. 15:117-131.
- NEWMAN, J.E., W.C.COOPER, W.REUTHER, G.A.CAHOON e A.PEYNADO, 1967. Orange fruit maturity and net heat accumulations. p. 127-147. In: R.H.Shaw (ed.), Ground level climatology, Baltimore, The Horn Shafer Company, 408 p. (Publication

- no 86 of the American Association for Advancement of Science.
- NUTTONSON, M.Y., 1948. Some preliminary observations of phenological data as a tool in the study of photoperiodic and thermal riqueriments of various plant material.

  Vernalization and photoperiodism. A Symposium, p. 129-143.

  Waltham, Mass., Chronica Botanica.
- OLIVEIRA, J.J. e O.G.GOEDERT, 1971. Graus-dias e época de maior produção de aspargo em Pelotas, RS, IPEAS, Ministério da Agricultura Boletim Técnico n. 72.
- PALMER, A.F.E., 1973. Photoperiod and temperature effects on a number of plant characters in several races of maize grown in the field. Plant response to climatic factors.

  Proceedings of the Uppsala Symposium/Réponse des plantes aux facteurs climatiques. Actes du Colloque d'Uppsala, p. 113-119, Paris, UNESCO.
- REATH, A.N. e S.W.WITTWER, 1952. The effects of temperature and photoperiod on the development of pea varieties. Proc. Amer. Soc. Hort. Sci. 60:301-310.
- RÉAUMUR, R.A.F. de, 1735. Observation du thérmomêtre, faites à Paris pendant l'année 1735, comparées avec celles qui ont été faites sous la ligne, à l'Isle de France, à Alger et en qualques unes de nos isles de l'Amerique. Mém. Acad. des Sci., Paris 1735:545. Citado por Robertson (1973).
- ROBERTSON, G.W., 1973. Development of simplified agroclimatic procedures for assessing temperature effects on crop development. Plant response to climatic factors. Proceedings of the Uppsala Symposium/Réponse des plantes aux facteurs climatiques. Actes du Colloque d'Uppsala, p. 327-343, Paris, UNESCO.
- ROBERTSON, G.W. e R.M.HOLMES, 1958. A new concept of the measurement of evaporation for climatic purpuses. Assemble

- générale de l'U.I.G.G., Toronto, 1957. III:399-405. Gentbrugge, Association Internationale pour l'Hydrologie Scientifique.
- ROBERTSON, G.W., 1968. A biometeorological time scale for a cereal crop involving day and night temperatures and photoperiod. Int. J. Biomet. 12(3):191-223.
- SAKAMOTO, C.M. e R.H.SHAW, 1967. Apparent photosynthesis in field soybeans communities. Agron. J. <u>59</u>:73-75.
- TISSERAND, F., 1875. Mémoire sur la végétation dans les hautes latitudes, 217 p. (Mémoires de la Societé Centrale d'Agriculture, 271 p. Citado por Robertson (1973).
- TORRIER, J.H. e G.M.BRIGGS, 1955. Effect of planting data on yield and other characteristics of soybeans. Agron. J. 47 (3):210-212.
- THORNTHWAITE, C.W. e J.R.MATHER, 1954. Climate in relation to crops. Met. Monogr. 2(8):1-10.
- UTAAKER, K., 1968. A temperature growth index. The respiration equivalent used in climatic studies on the mesoscale in Norway. Agric. Met. 5:351-359.
- VALLI, V.J. e C.A.JAWORSKI, 1965. Influence of biometeorological factors in tomato transplant production. Proc. Fla. State Hort. Soc. 78:102-1●6.
- VILLA NOVA, M.J.PEDRO Jr., A.R.PEREIRA e J.C.OMETTO, 1972. Es timativa de graus-dia acumulados acima de qualquer temperatura base, em função das temperaturas máxima e mínima.

  30 caderno de ciências da terra, p. 8. Instituto de Geografia, USP.
- WALTER, A., 1969. A relationship between incoming solar radiations and degree-hours of temperature. Agric. Met. 6:

- 435-438.
- WANG, J.Y., 1960. A critique of the unit approach to plant response studies ecology, 41(4):785-790.
- WARNOCK, S.J. e R.L. ISAACS, 1969. A linear heat unit system for tomatoes in California. J. Amer. Soc. Hort. Sci. 94(6): 677-678.
- WENT, F.W., 1956. The role of environment in plant growth.

  Amer. Scientist 44:378-399.
- WILLIANS, G.D.V. e K.H. Mac KAY, 1970. Tables of daily degree days above or below any base temperature. Ottawa, Canada.

  Department of Agriculture, Publicação nº 1.409, 37 p.

# A P Ê N D I C E

## QUADRO DE ANÁLISE DE VARIÂNCIA DA PRODUÇÃO POR ÁREA

C		<b>V</b> ar	IAÇ	ÃO	G.L.	S.Q.	Q.M.	F
Var	rie	dad	es	(V)	3	16212267,1875	5404089,0625	63,3
Esp	aç	ame	nto	s (E)	2	12031789,3229	6015894,6615	70,4
Épo	ca	s (	D)		15	79877136,9791	5325142,4653	62,4
V	х	Ε			6	6329071,0937	1054845,1823	12,3**
V	х	D			45	20184286,9792	448539,7107	5 <b>,</b> 2**
Ε	х	D			30	4062823,1771	135427,4393	1,58 n.s.
V	x	E	x	D	90	7683149,7396	85368,3305	
Т	0	t	a	1	191	146380524,4791		

### DESDOBRAMENTOS

C. VARIAÇÃO	G.L.	s.Q.	Q.M.	F
V d E <sub>l</sub>	3	979632,4219	326544,1406	3,82*
V d E <sub>2</sub>	3	7238876,1720	2412958,7204	28,26**
V d E <sub>3</sub>	3	14322829,6380	4774276,5460	55,92**
Residuo	90	7683149,7396	85368,3305	

C. VARIAÇÃO	G.L.	s.Q.	Q.M.	F
E d V <sub>l</sub>	2	858176,0417	429088,0209	5,02 <b>**</b>
E d V <sub>2</sub>	2	1517154,1667	758577,0834	8,88 <b>**</b>
E d V <sub>3</sub>	2	809954,1667	404977,0834	4 <b>,</b> 74**
E d V <sub>4</sub> .	2	15175576,0420	7537788,0210	88,88 <b>**</b>
Residuo	90	7683149,7396	85368,3305	

C. VARIAÇÃO	G.L.	S.Q.	Q.M.	<b>F</b> .
D d V <sub>l</sub>	15	32017986,9800	2134532,4653	•
D d $V_2$	15	30345364,5834	2023024,3056	23,70 <b>**</b>
$D d V_3$	15	26767381,2497	1784492,0833	20,90
D d $V_{4}$	15	10930691,1460	728712,7431	8 <b>,</b> 54**
Residuo	90	7683149,7396	85368,3305	

	С.	VARIAÇÃO	G.L.	S.Q.	Q.M.	F
V	d	Dl	3	1180050,0000	393350,0000	4,61**
V	d	$D_2$	. 3	1577456,2500	525818,7500	6 <b>,</b> 16**
V	d	$D_3$	3	261333,3337	87111,1112	1,02 n.s.
V	d	$D_4$	3	1802656,2500	600885,4167	7,04**
V	d	$D_5$	3	476772,9176	158924,3056	1,86 n.s.
V	đ	$D_6$	3	1711300,0000	570433,3333	6,68**
V	d	$D_7$	3	334672,9167	111557,6389	1,31 n.s.
V	d	D8	3	349856,2500	116618,7500	1,37 n.s.
V	d	$D_9$	3	2504839,5834	834946,5278	9,78**
V	d	$D_{10}$	3	7497122,9167	2499040,9722	29 <b>,</b> 27**
V	d	$D_{11}$	3	1490316,6670	496772,2223	5,82 <b>**</b>
V	d	D <sub>12</sub>	3	3149789,5830	1049929,8610	12,30 <b>**</b>
V	d	D <sub>13</sub>	3	3183741,6667	1061247,2222	12,43**
V	d	D <sub>14</sub>	3	5736150,0000	1912050,0000	22,40 **
V	d	D <sub>15</sub>	3	2760002,0833	920000,6944	10,78**
V	d	D <sub>16</sub>	3	1675106,2500	558368,7500	6,54 <b>**</b>
R	esí	duo	90	7683149,7396	85368,3305	